

原子核質量から見た原子核の大域的な性質とr過程元素合成

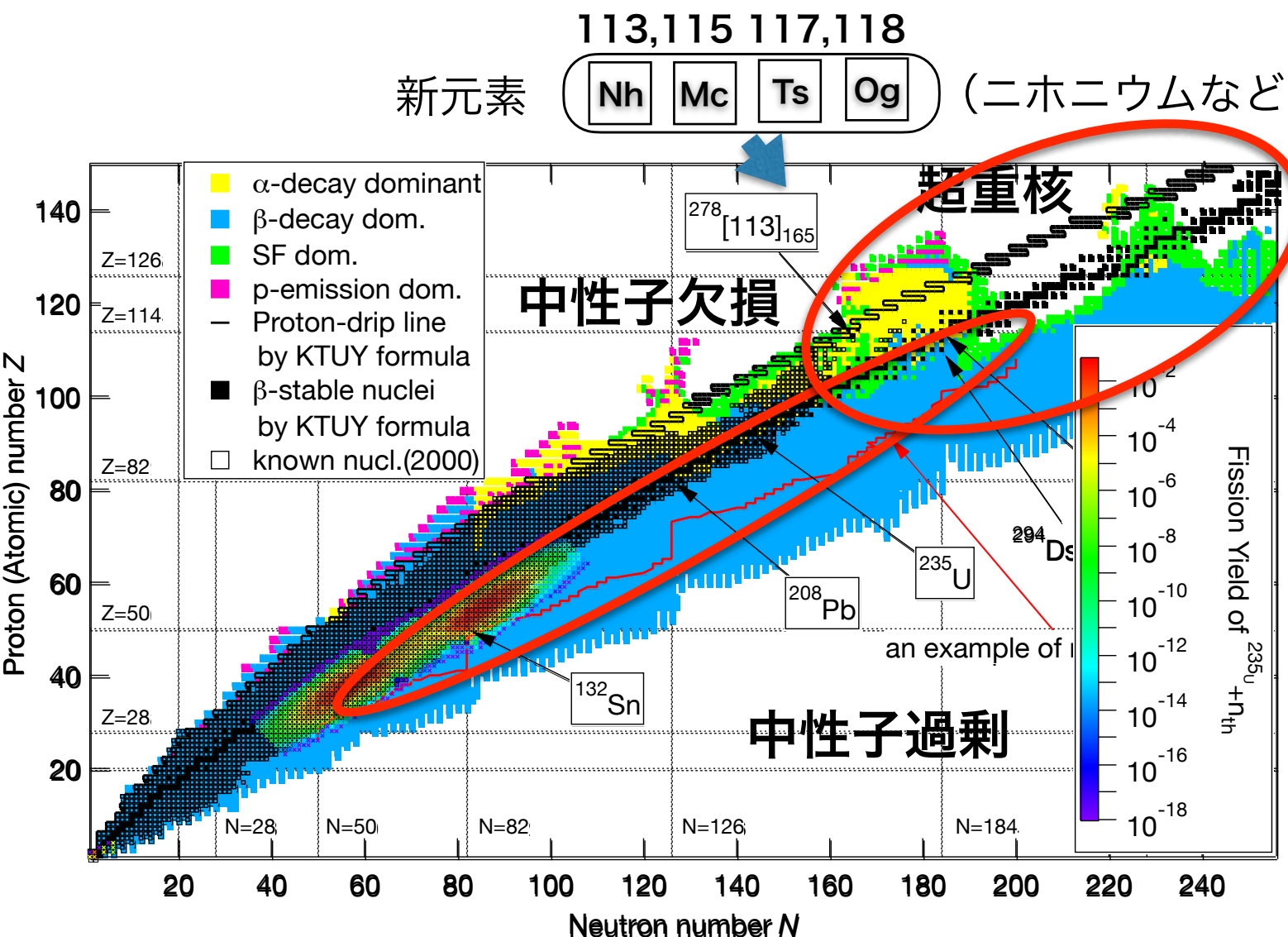
小浦寛之
日本原子力研究開発機構
先端基礎研究センター

- イントロ →核図表の概要、新核種発見の最近の進展 (JAEA核図表2018)
- 原子核質量 →質量模型計算の不定性、質量模型が予測する中性子過剰核の性質
- β 崩壊 →禁止遷移の役割
- 核分裂 →r過程の終端の解明

イントロダクション

原子核の核図表上の大域的領域において原子核の核構造・核崩壊の性質を明らかにする

- 原子核の核構造や崩壊機構の理解
- 超重核の理解→原子核の存在限界
- 中性子過剰核の理解→r過程元素合成への応用

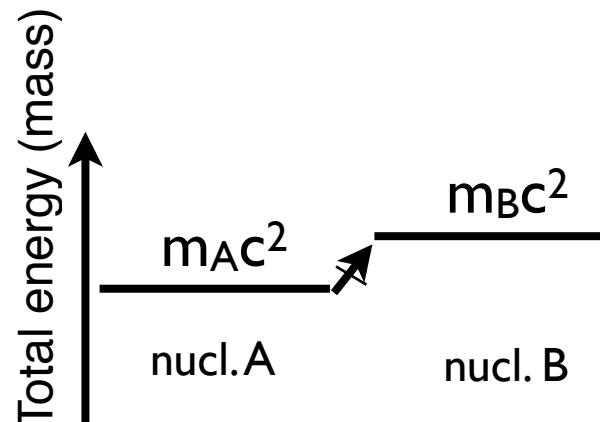


中性子過剰核の β 崩壊は天体核物理、原子炉物理において重要

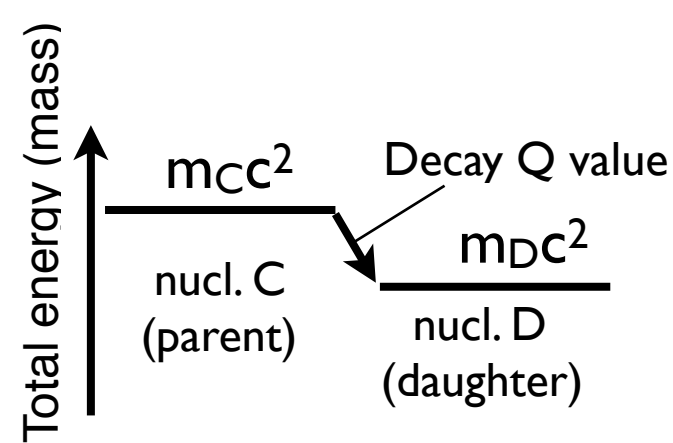
原子核質量の重要性

- $E = mc^2$ より原子核の全エネルギーそのもの
→ 原子核の崩壊や反応を司る

$$E=mc^2$$



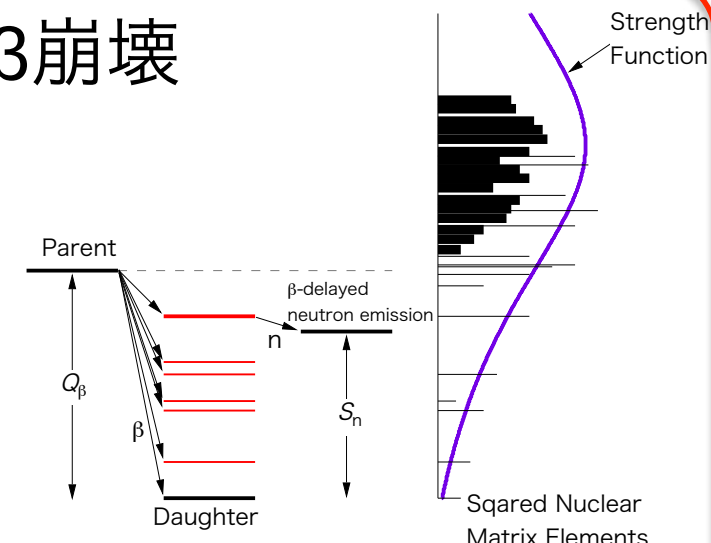
Nucleus A can not decay.



Nucleus C can decay.

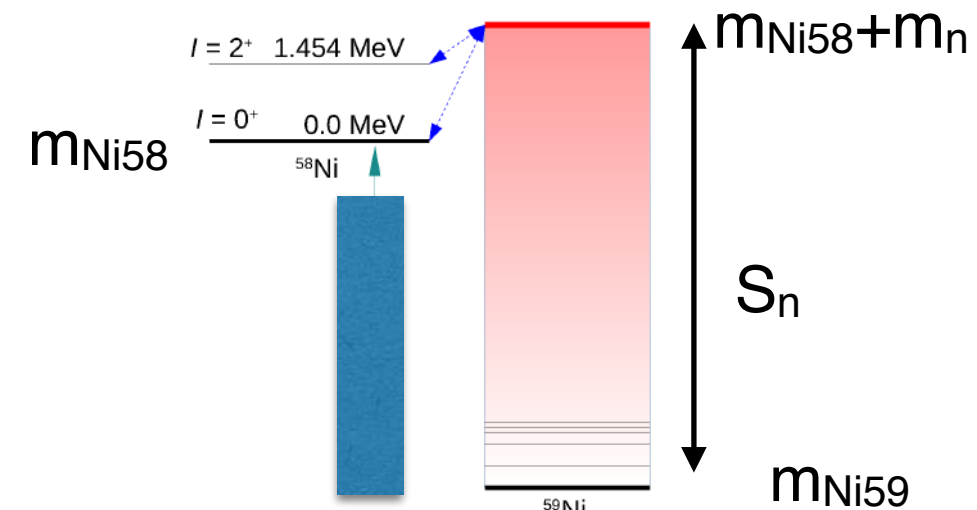
質量値の差が崩壊の向き（と強さの大部分）
を決める

例：β崩壊



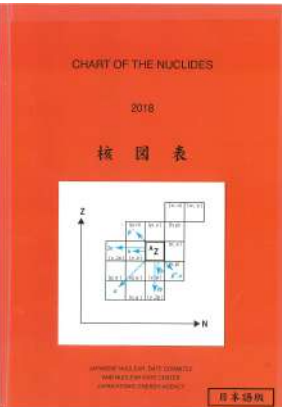
$$\lambda = \frac{1}{2\pi^3} \int_{-Q}^0 \sum_{\Omega} |g_{\Omega}|^2 \cdot |M_{\Omega}(E_g)|^2 f(-E_g + 1) dE_g$$

例：中性子捕獲過程



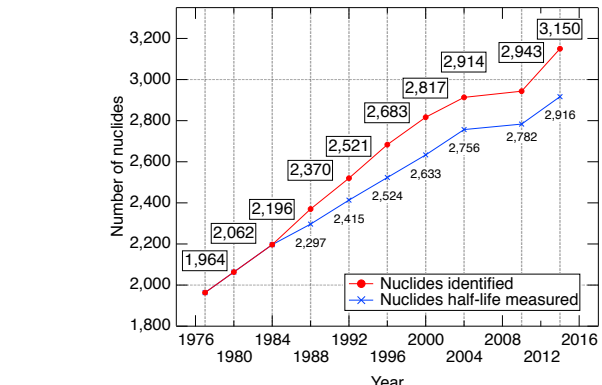
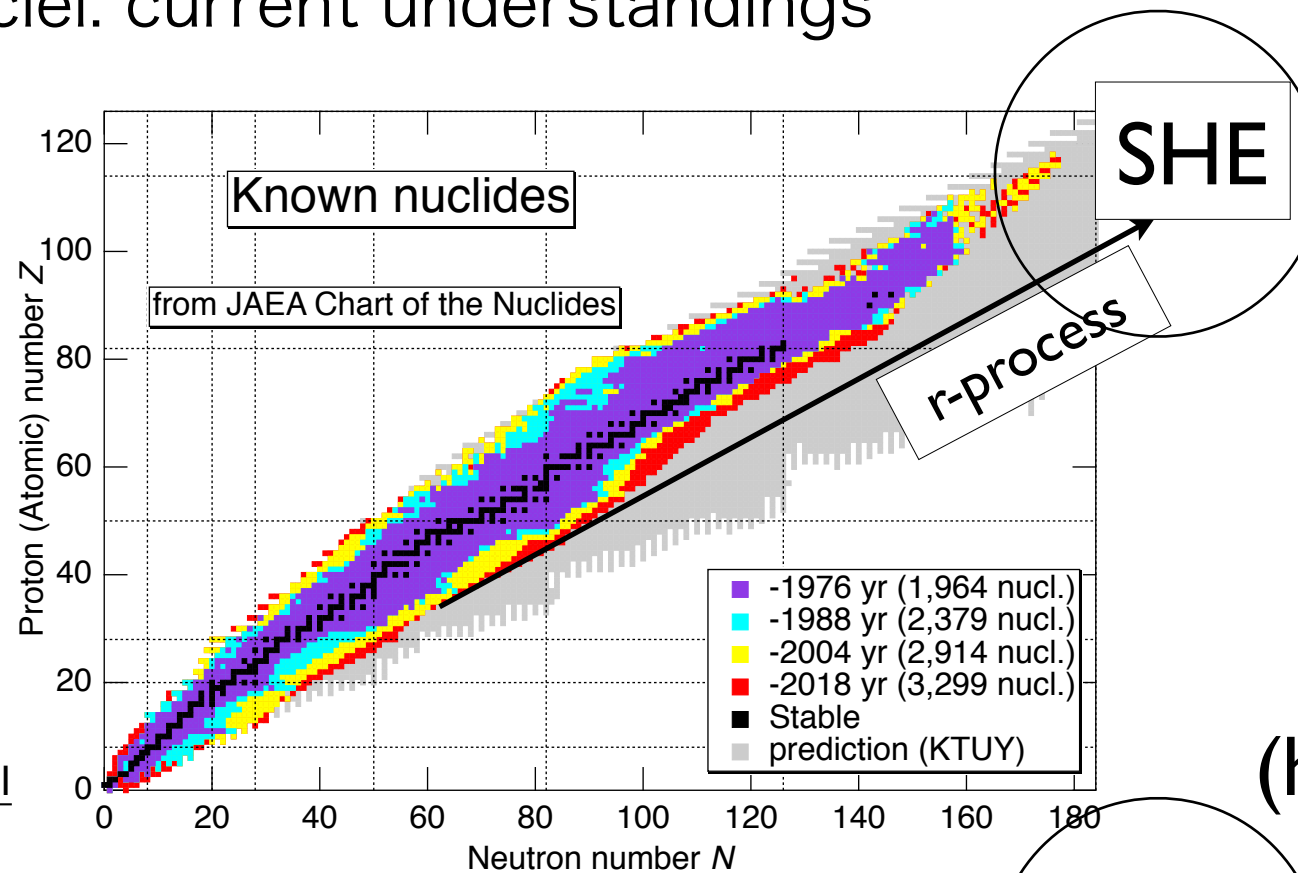
Search of nuclei: current understandings

Identified



taken from Chart of the nuclides by JAEA
(HK, et al., 2019)

wwwndc.jaea.go.jp/CN18/index.html



~3300 nuclei
(Identified)

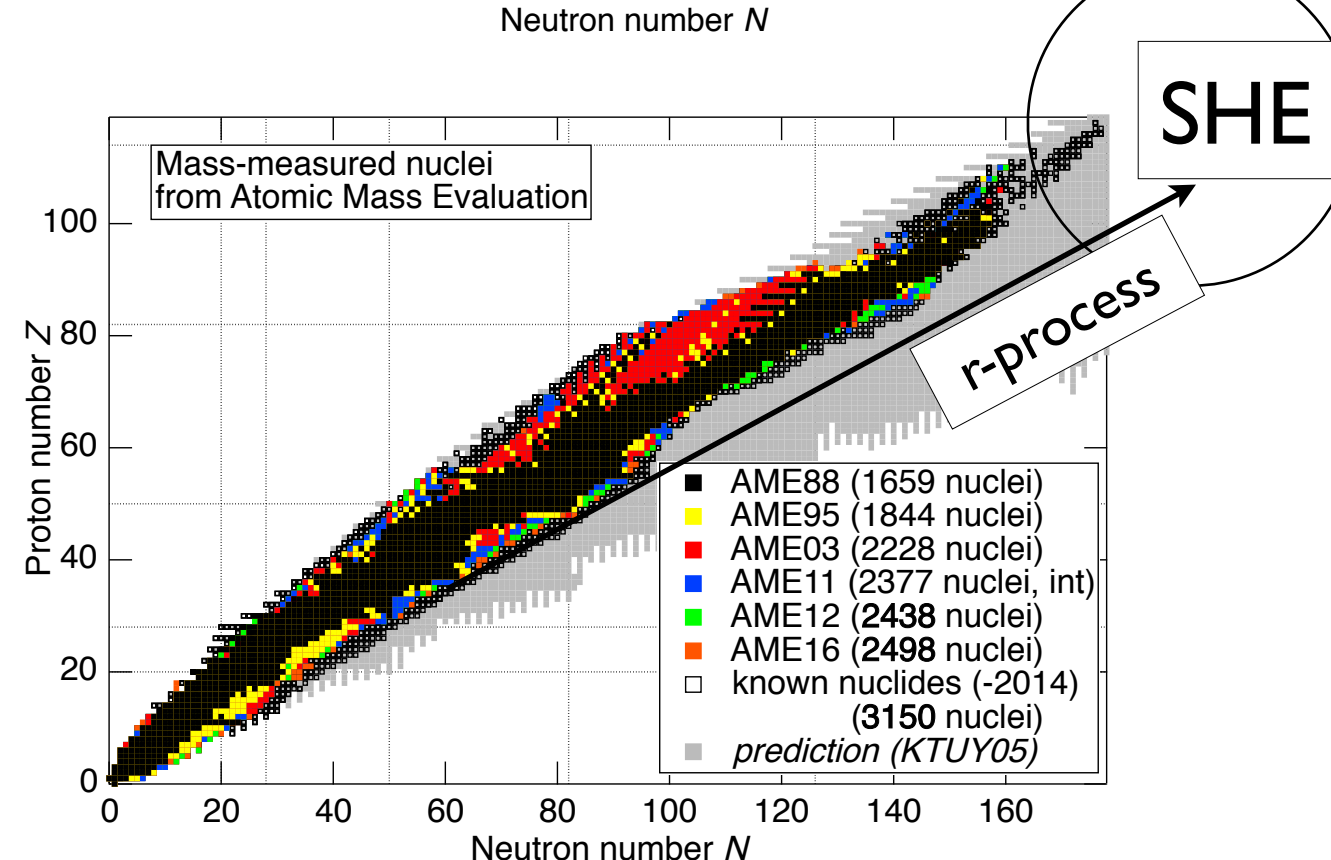
~3000 nuclei
(half-life measured)

Mass-measured

AMDC
Atomic Mass Data Center

Atomic Mass Evaluation
is updated as AME2016

amdc.impicas.ac.cn/



~2500 nuclei
(mass measured)

原子核質量

Weizsäcker-Bethe semi-empirical atomic mass formula

$$M_{\text{WB}}(Z, N) = Z m_{\text{H}} + N m_{\text{n}} - B(Z, N)$$

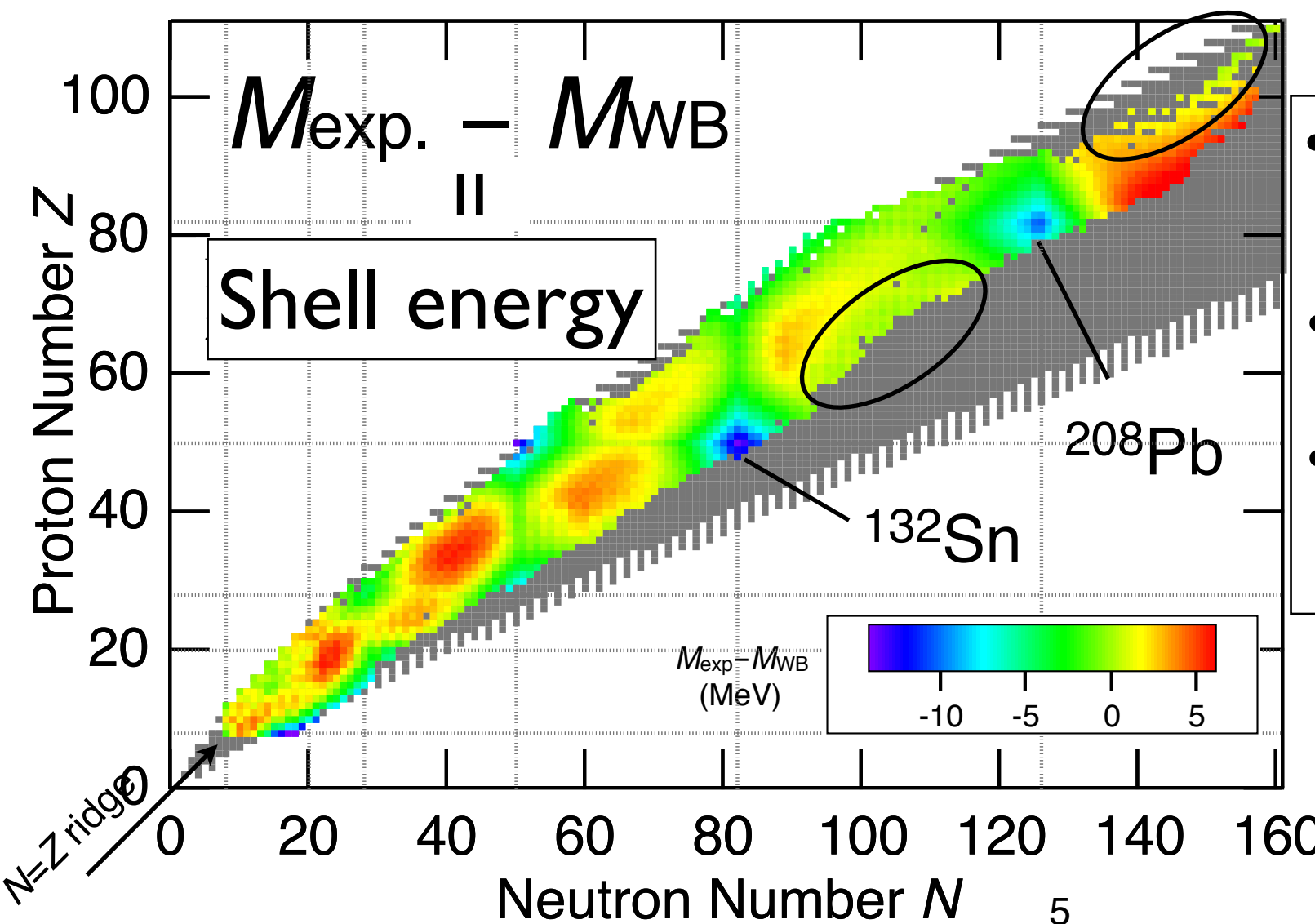
対称項 (Fermi粒子として半分、核力などで半分)

$$= Z m_{\text{H}} + N m_{\text{n}} - a_V A + a_S A^{2/3} + \boxed{a_I (N-Z)^2 / A} + a_C Z (Z-1) / A^{1/3} + \delta_{\text{eo}}$$

a_V	a_S	a_I	a_C	a_{eo}
15.604	17.472	22.99	0.7073	12.338

(MeV)

$$\delta_{\text{eo}} = \begin{cases} -a_{\text{eo}}/A^{1/2} & \text{for even-}Z \text{ and even-}N \\ 0 & \text{for odd-}A \\ +a_{\text{eo}}/A^{1/2} & \text{for odd-}Z \text{ and odd-}N \end{cases}$$



From the 'exp.' shell energy:

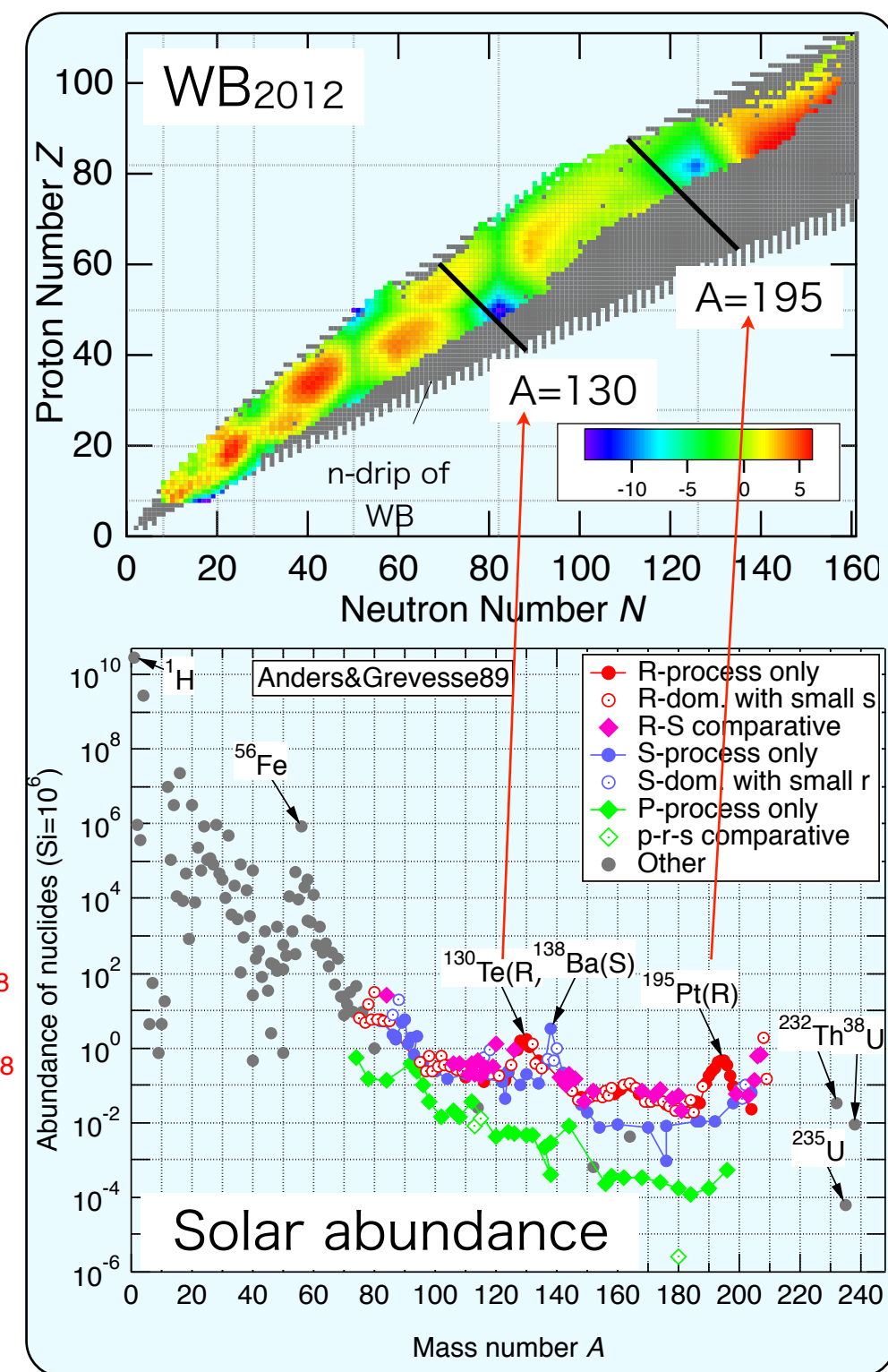
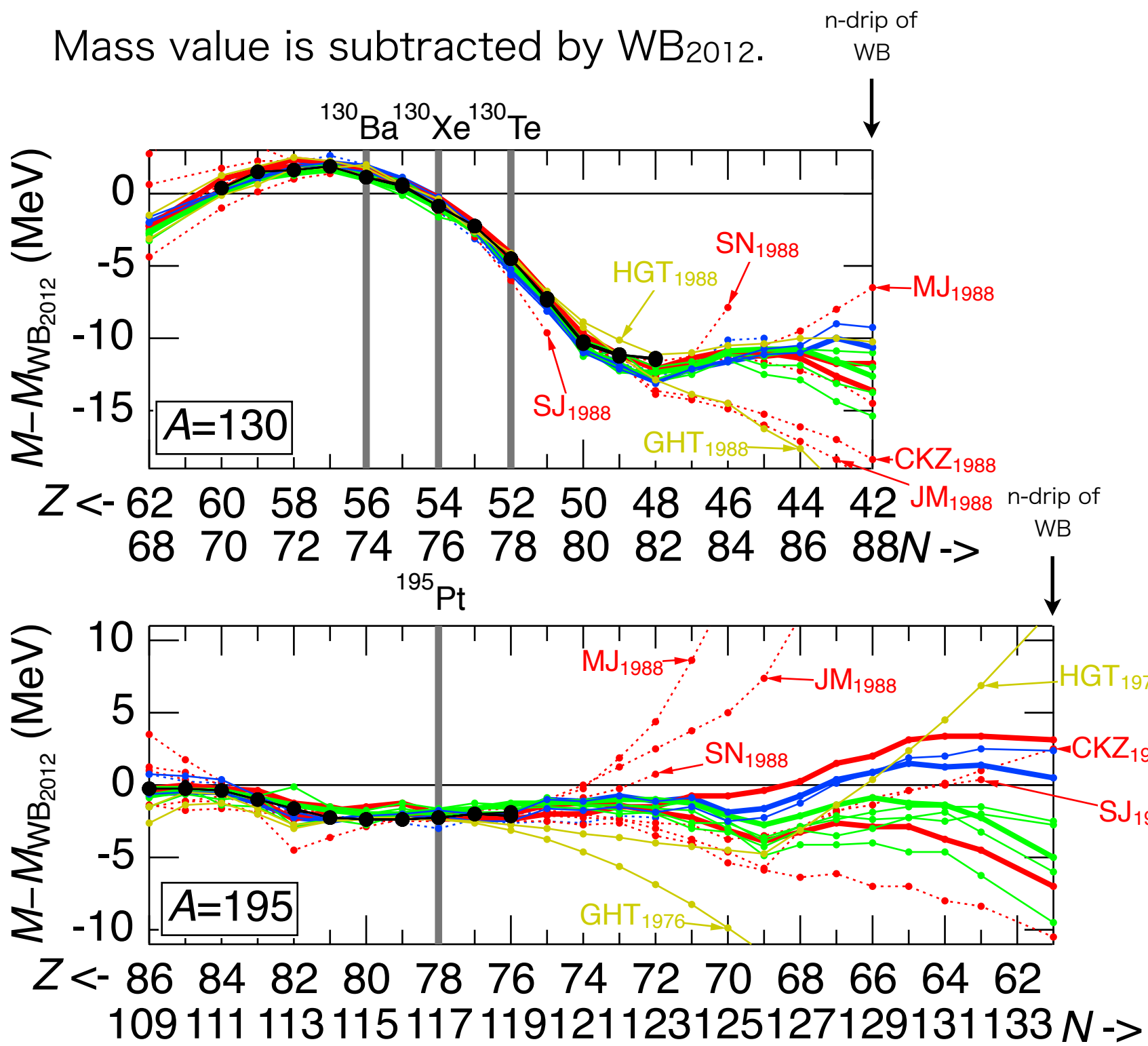
- Existence of magic number
 $N=28, 50, 82, 126$
 $Z=28, 50, 82$
- Wigner energy
 $N=Z$ ridge
- Depression due to the deform.
rare-earth, actinide

Mass data : 2012 Atomic mass evaluation
(M. Wang, G. Audi, A.H. Wapstra *et al.*)

Trend in MeV-order

2. Mass-model dependency: n-rich nuclei

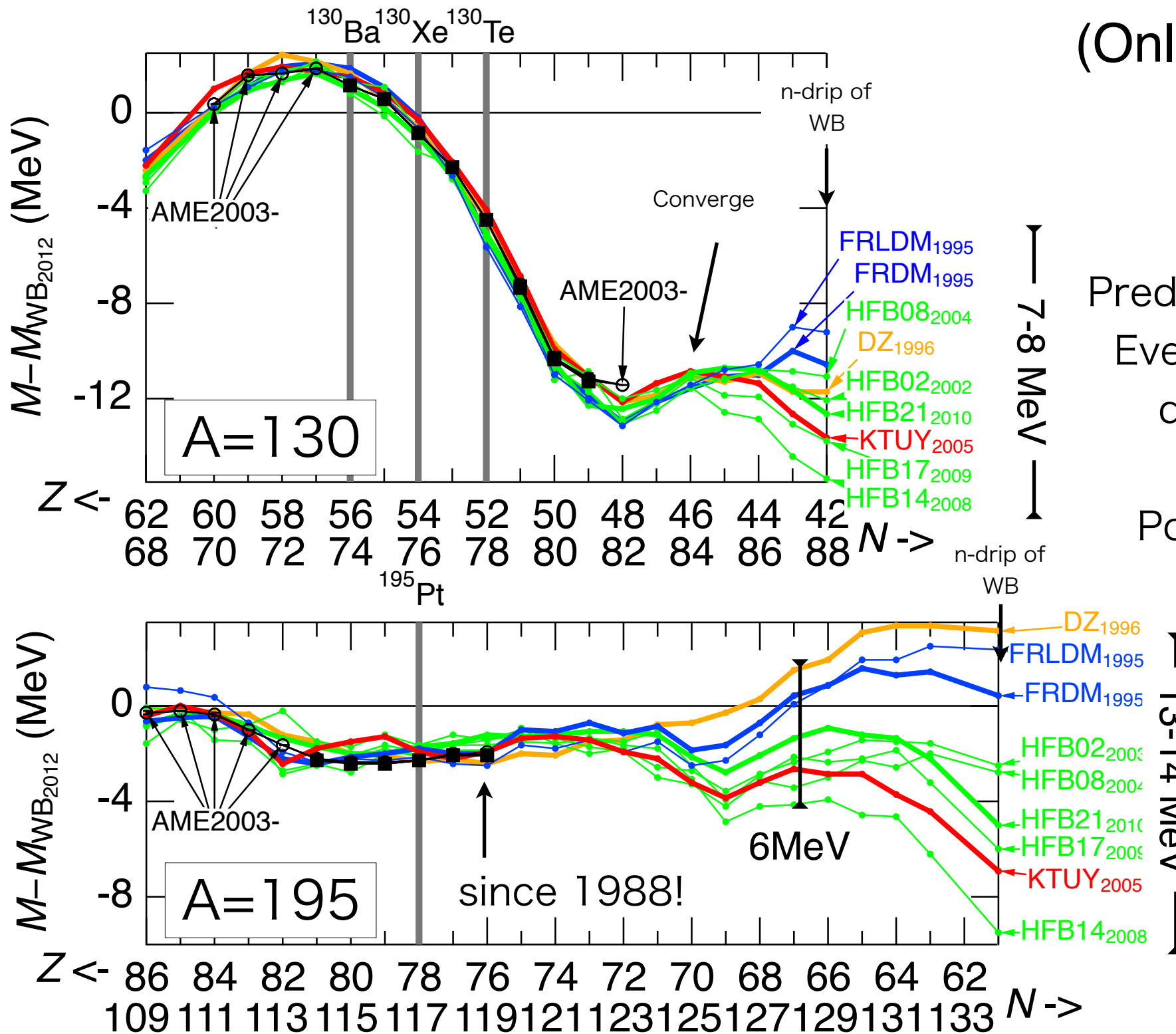
Mass value is subtracted by WB₂₀₁₂.



- In old-type mass formulae (-1988), mass values extremely diverge in the very neutron-rich region

Mass-model dependency: n-rich nuclei

(Only since 1990-)

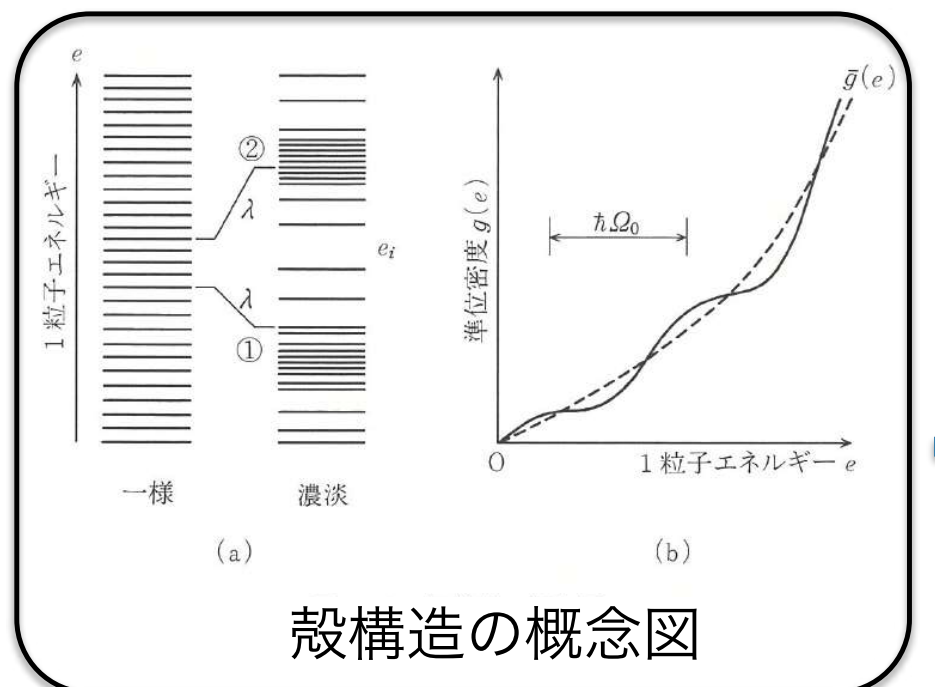


Predicted mass values still diverge.
Even among HFB's, mass values
diverge in the n-rich region.
(several MeV)

Poor experimental mass data.

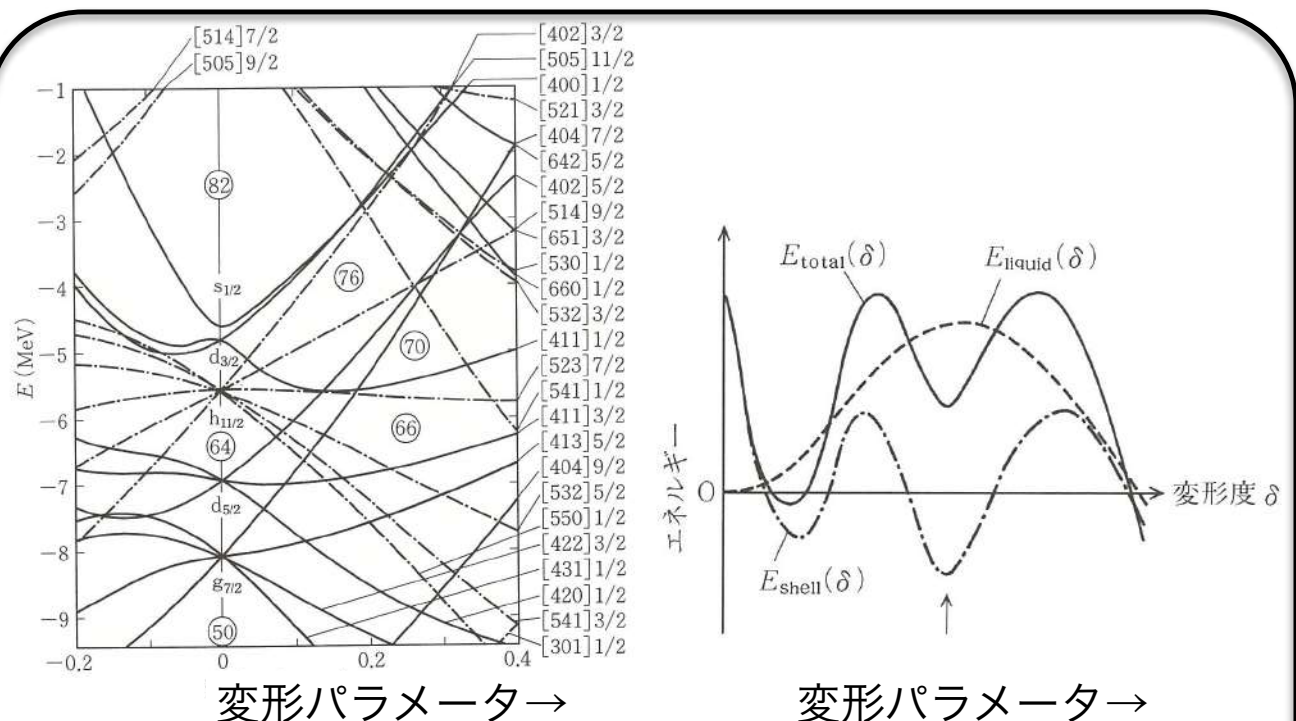
原子核質量（結合エネルギー）の対称エネルギー部分の理論の不定性が大きい

微視的部分の理論計算：Nilsson-Strutinsky法と球形基底法



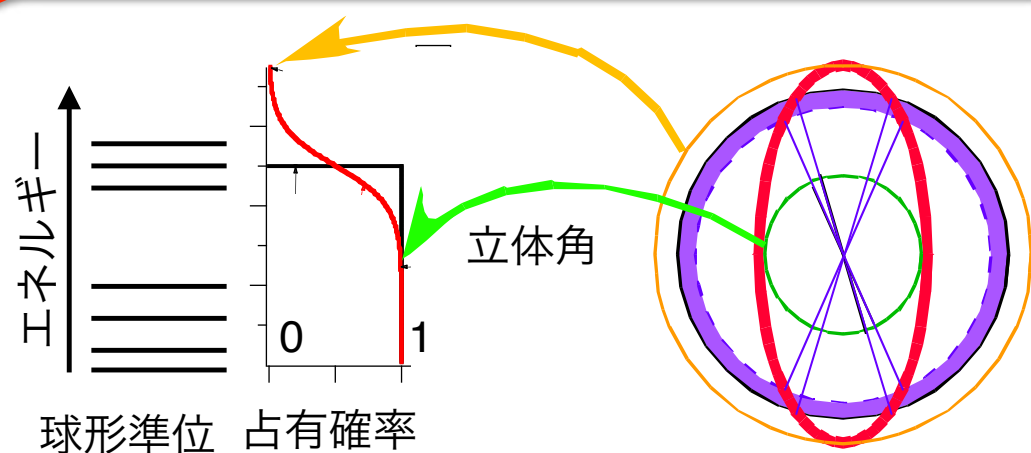
Nilsson-Strutinsky 法

変形单一粒子ポテンシャルより準位を得、それに粒子を積み上げることにより求める

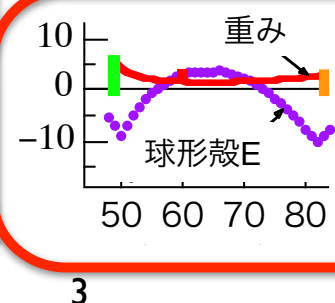


球形基底の方法(KTUYの 方法)

変形单一粒子ポテンシャルより準位を得、変形状態を球形状態の配位混合として扱う



変形ポテンシャルで変形度を与えて、縮退が解かれた準位に対して適用



Spherical-Basis (KTUY) mass formula (2005)

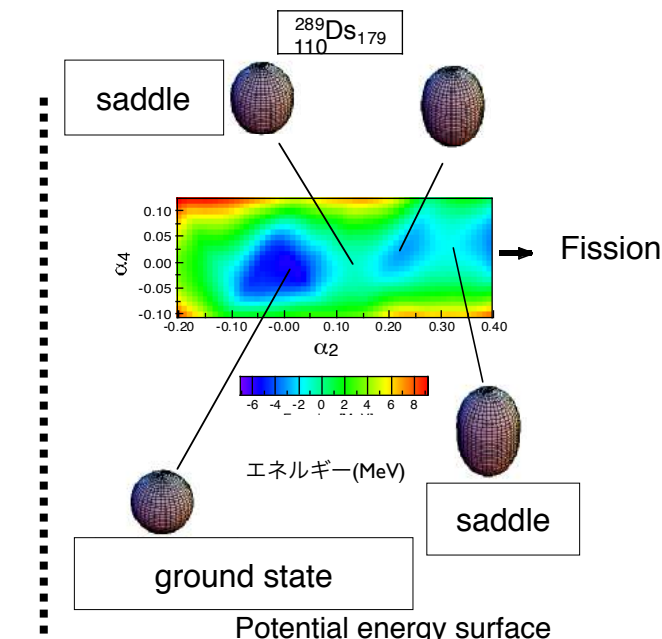
$$M(Z, N) = M_{\text{gross}}(Z, N) + M_{\text{eo}}(Z, N) + M_{\text{shell}}(Z, N)$$

H. Koura, T. Tachibana, M. Uno, M. Yamada, PTP113 (2005)

M_{gross} smooth function of N and Z. (same as the TUYY formula)

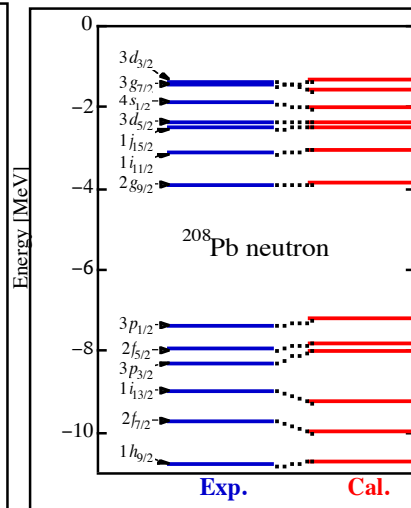
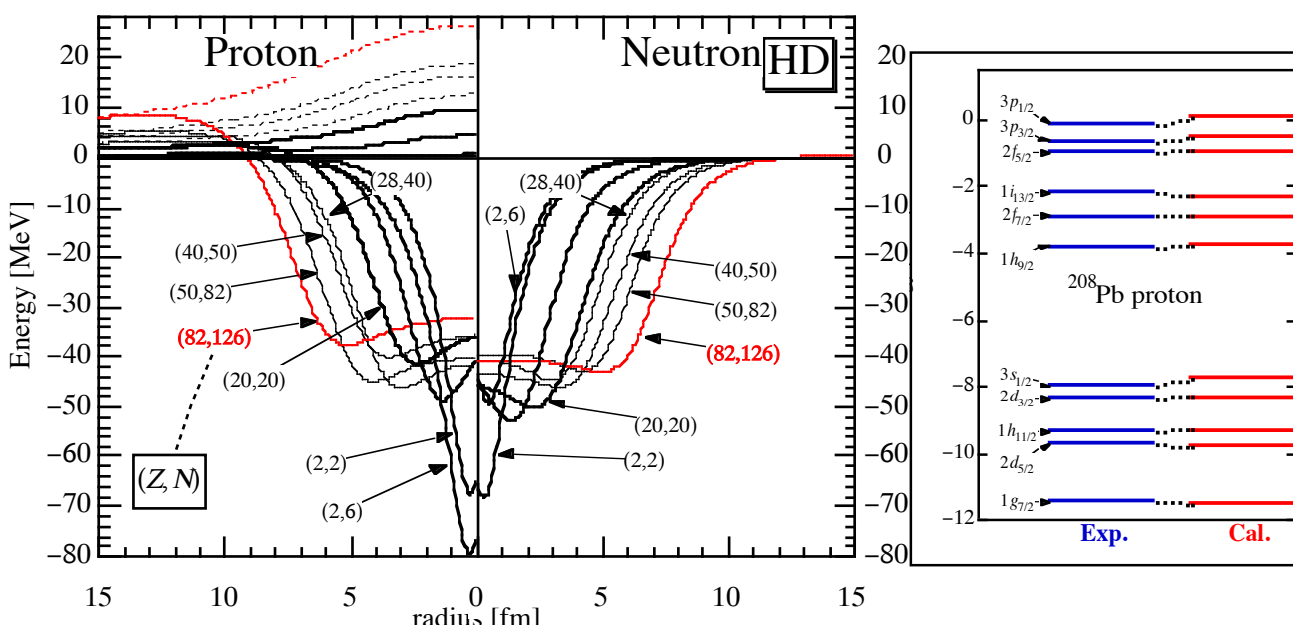
M_{shell} : modified Woods-Saxon pot.+BCS+deform. config.
and spherical-basis method

- Deformation, fission barrier is obtained
- Change of closed shells in the n-rich nuclei is predicted. (N=20 -> 16, etc.)
- Topic: decay modes for superheavy nuclei can be described.

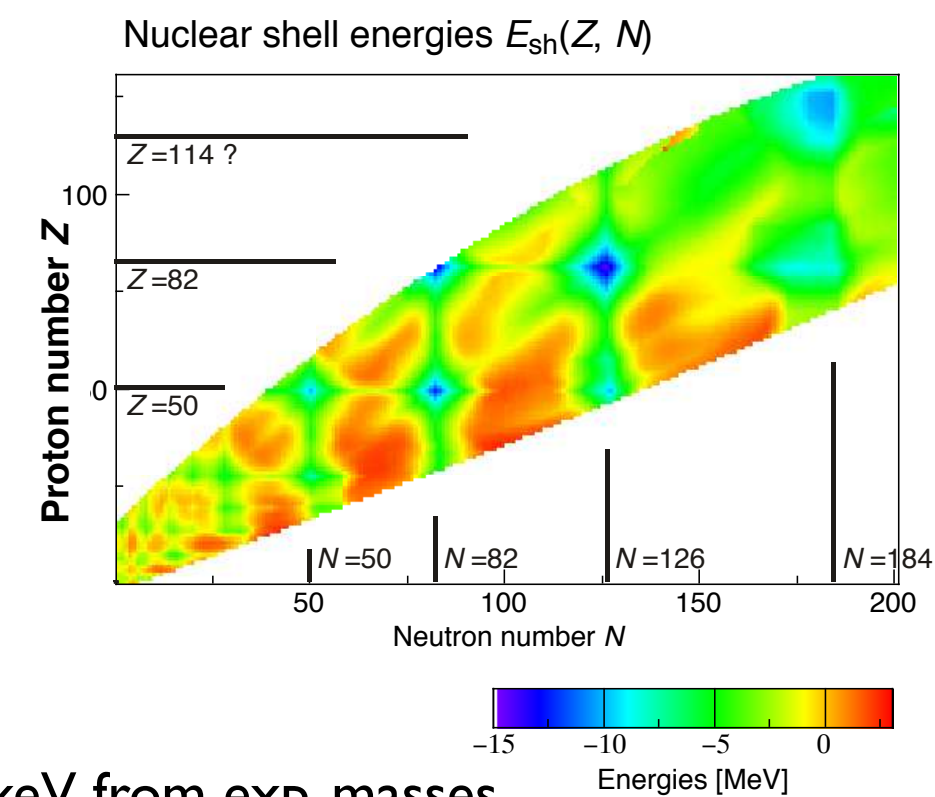


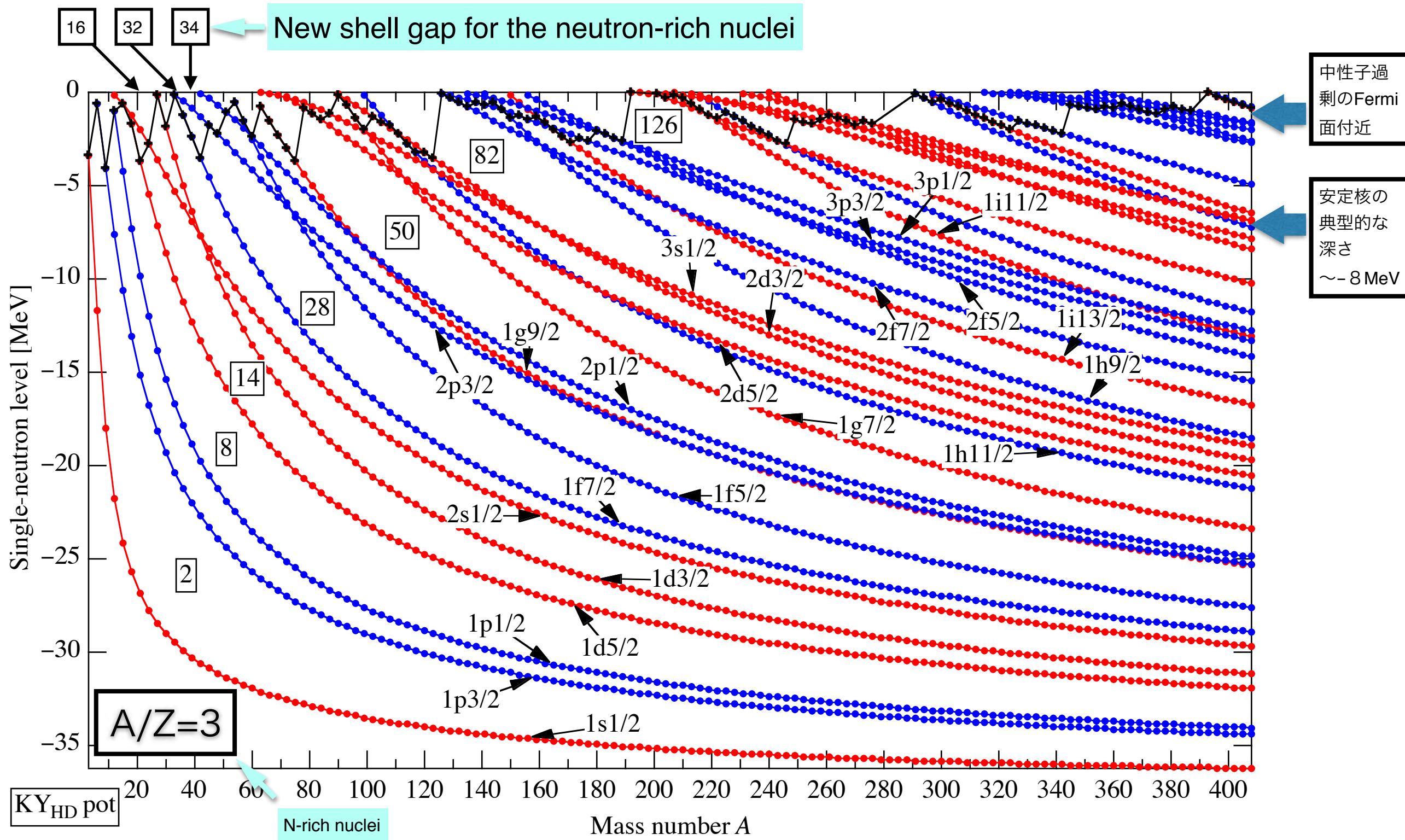
Single-particle potential

$$V_{\text{cen}}(r) = V_0 \frac{1}{\left\{1 + \exp \left[(r - R_v)/a_v\right]\right\}^{a_v/\kappa}} \left\{1 + V_{\text{dp}} \frac{1}{1 + \exp \left[-(r - R_v)/a_v\right]}\right\}$$



Shell energy

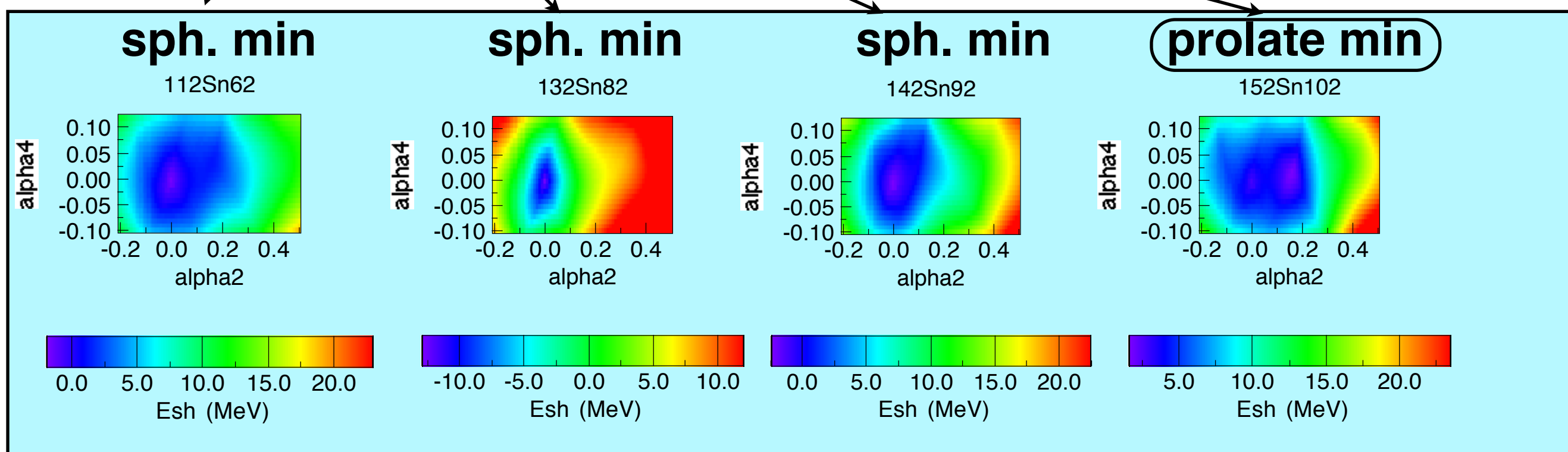
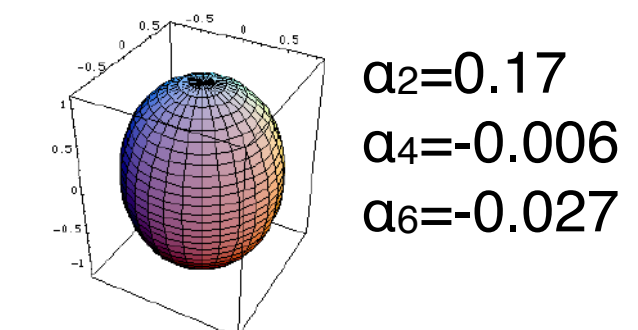
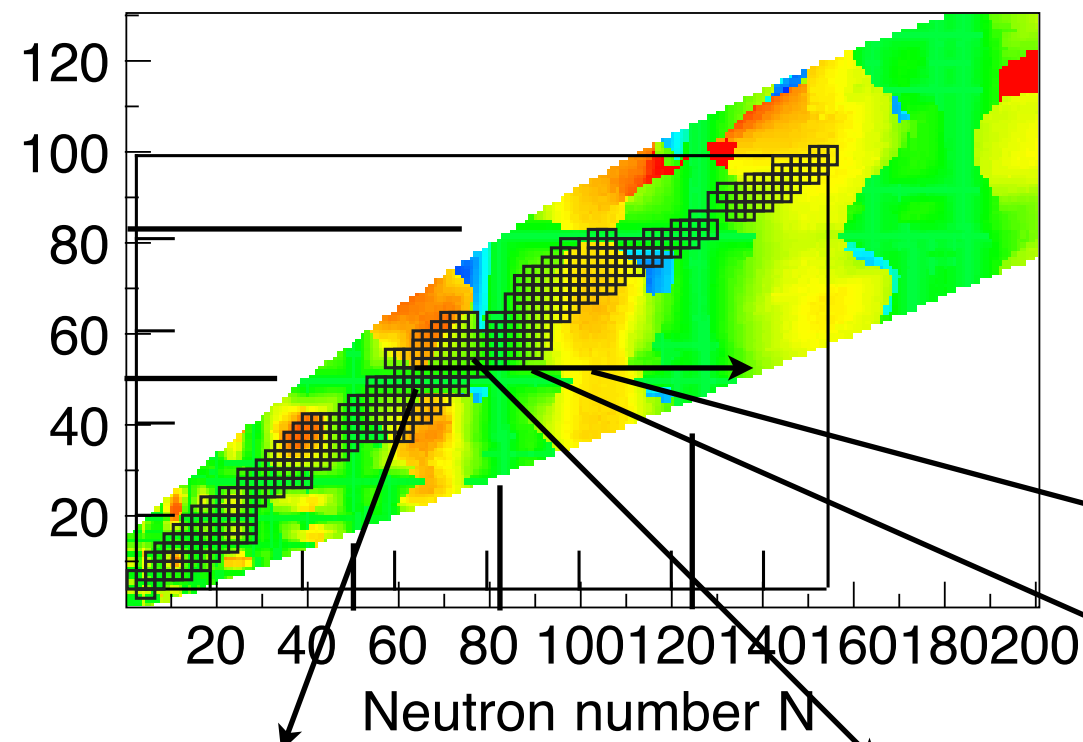




修正Woods-Saxonポテンシャル (HK, Yamada, NPA671 (2000)による計算)

ゆるく結合した状態においては **N=20, 28** の消失と同時に **N=16, 32 (, 34)** の出現を示している。
 一方で **N=50** (58は現れるかもしれない), **82, 126** は robust に残っている

Deformation parameter alpha2 of KUTY



$^{112}\text{Sn}_{62}$

$^{132}\text{Sn}_{82}$

$^{142}\text{Sn}_{92}$

$^{152}\text{Sn}_{102}$

○原子核の変形は閉殻領域から離れた領域に（周期的に）出現している

● Canonical model

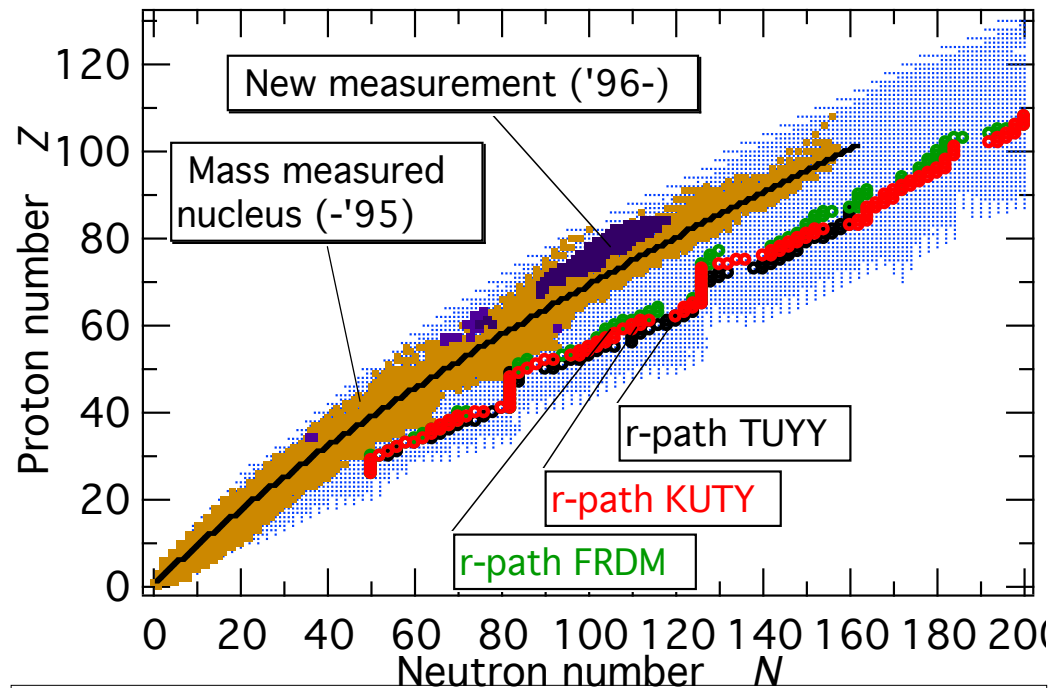
Steady flow + Waiting point Approximation

Neutron-number density (N_n) and temperature (T_9) are constants
 (n,γ) - (γ,n) equilibrium is established over an irradiation time τ

N_n, T_9, τ : chosen to reproduce the abundance peak at $A=130$ (obs.)

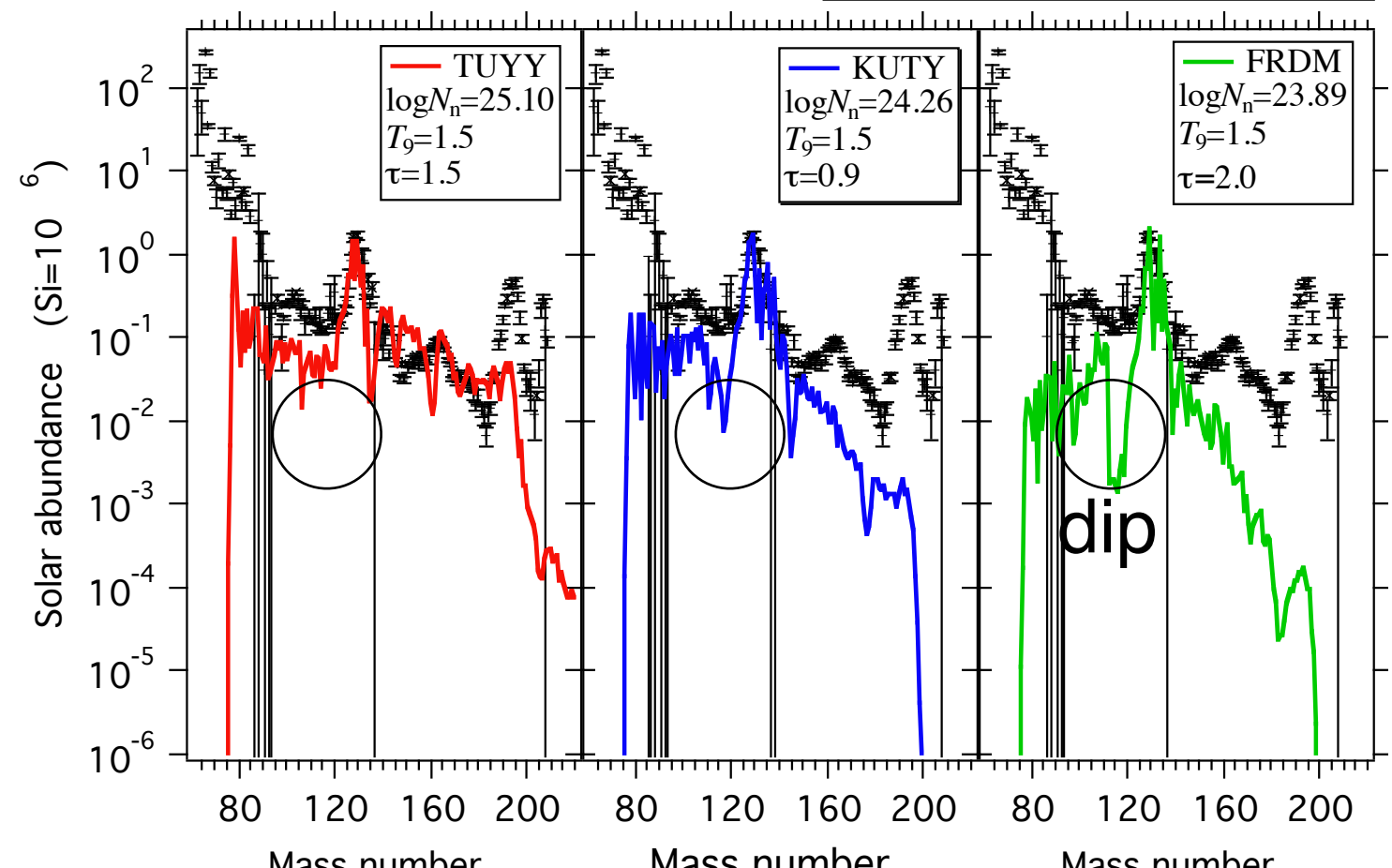
S_{2n} for equilibrium eq. (determine the path) and Q_β for λ_β :
estimated from mass formulae (TUYY, KUTY, FRDM)

+ $N_r = N(\text{Solar abund.}) - N_s$
× N_r r-only nuclei



- **TUYY**: gross term (WB-like with higher expansion) + empirical shell term.
- **KUTY**: TUYY gross term + deformed shell with a modified Woods-Saxon pot.
- **FRDM**: Macroscopic Droplet + microscopic deformed shell with a folded Yukawa pot.

○経路の位置が異なっている

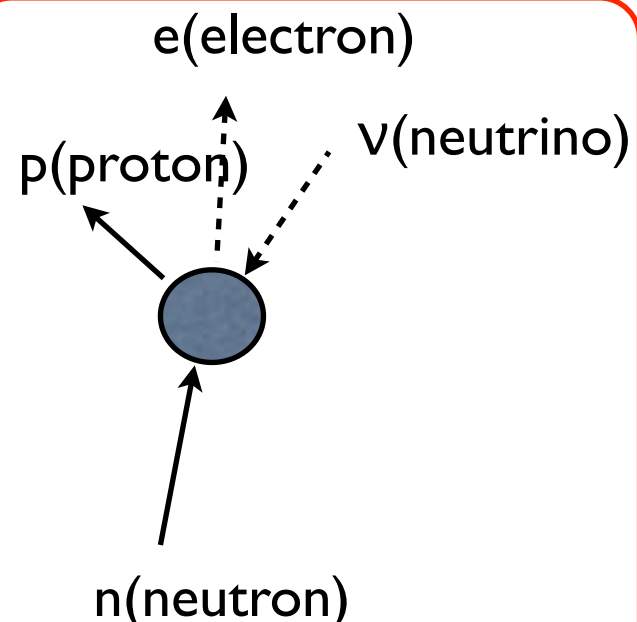


β崩壊

$$\lambda = \frac{2\pi}{\hbar} |(\Phi_{\text{Final}}, H' \Phi_{\text{Initial}})|^2 \rho_E$$

遷移確率の1次の摂動計算

弱い相互作用を記述



β-decay

β崩壊の崩壊定数

$$\lambda_\Omega = C \int_{-Q_\beta}^0 |\mathcal{M}_\Omega|^2 f_\Omega(-E) dE$$

- Ω : 遷移の形 (禁止度)
- \mathcal{M} : 核行列要素。核構造に起因
- $f(-E)$: f 関数。電子波動関数の歪み

$H_\beta = \int \mathcal{H}_\beta dr$: Hamiltonian

$$\begin{aligned} \mathcal{H}_\beta = & G_V (\psi_p^* \psi_n \psi_e^* \gamma' \psi_\nu - \psi_p^* \alpha \psi_n \cdot \psi_e^* \alpha \gamma' \psi_\nu) \\ & + G_A (\psi_p^* \sigma \psi_n \cdot \psi_e^* \sigma \gamma' \psi_\nu - \psi_p^* \gamma_5 \psi_n \cdot \psi_e^* \gamma_5 \gamma' \psi_\nu) \\ & + (\text{Hermitian conjugate}) \end{aligned}$$

Fermi

Gamow-Teller

$$\alpha = \begin{pmatrix} 0 & \sigma \\ \sigma & 0 \end{pmatrix}$$

$$\sigma = \begin{pmatrix} \sigma & 0 \\ 0 & \sigma \end{pmatrix}$$

$$\gamma_5 = i\alpha_x \alpha_y \alpha_z,$$

$$\gamma' = (1 + \gamma_5)/\sqrt{2}$$

原子核構造部分

崩壊の形とスピン・パリティの関係

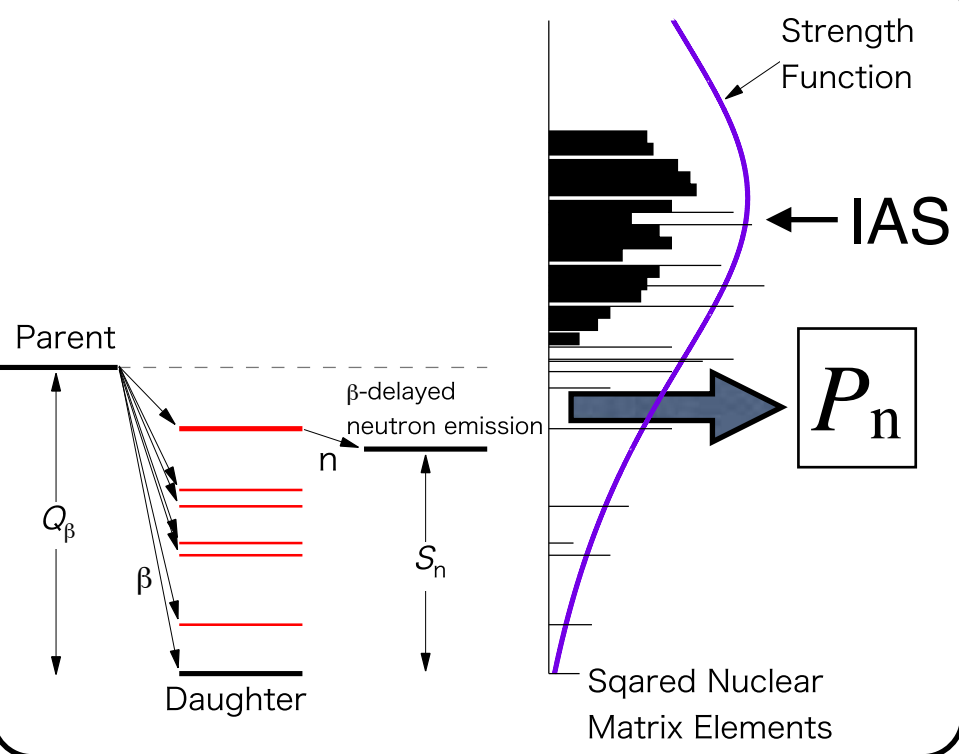
遷移様式	スピン	パリティ
許容遷移 (Fermi)	0	+
許容遷移 (Gamow-Teller)	0, ±1	+
第1禁止遷移	0, ±1, ±2	-
⋮	⋮	⋮
第n禁止遷移	±n, ±(n+1)	(-) ⁿ

半減期で
4桁程度

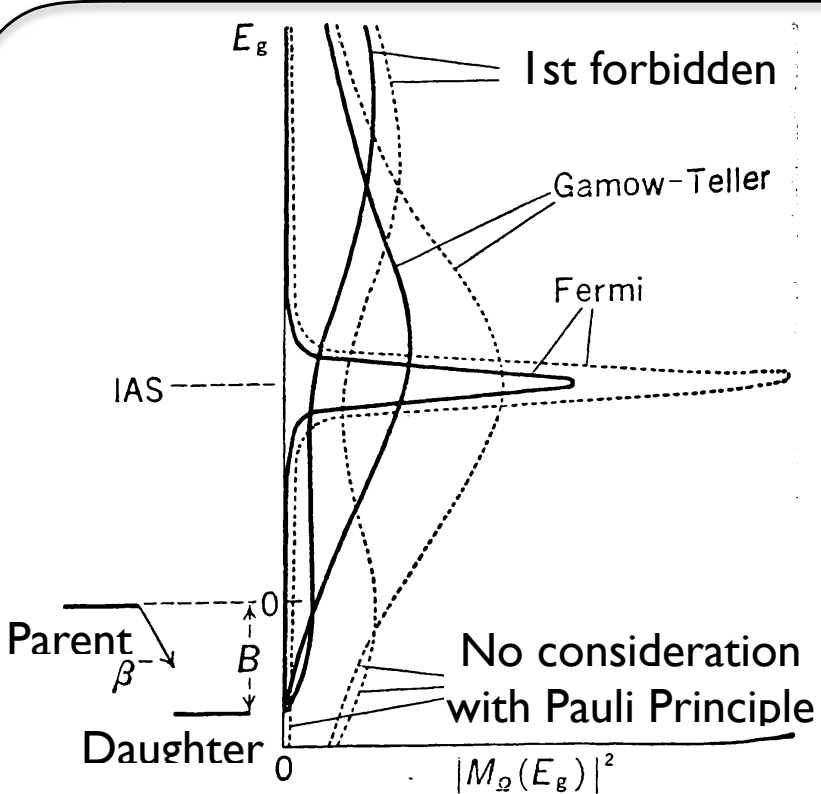
半減期で
4桁程度

Nuclear beta-decay and gross theory

Strength function of beta-decay



Overview of gross theory



Fermi, Gamow-Teller, and 1st forbidden can be calculated.

Required sum rules

$$\int_{-\infty}^{\infty} D_F(E; \epsilon) dE = 1$$

$$\int_{-\infty}^{\infty} D_{GT}(E; \epsilon) dE = 3$$

$$\int_{-\infty}^{\infty} D_r(E; \epsilon) dE = \langle r^2 \rangle \approx \frac{3}{5} R^2$$

$$\frac{1}{3} \int_{-\infty}^{\infty} E D_{GT}(E; \epsilon) dE = \Delta E_C$$

$$\frac{1}{3} \int_{-\infty}^{\infty} E^2 D_{GT}(E; \epsilon) dE = (\Delta E_C)^2 + \sigma_C^2 + \sigma_N^2$$

$D(E, \epsilon)$: one particle strength function

$\frac{dn_1}{d\epsilon}$: level density

K. Takahashi et al., PTP **41**(1969)→Concept

S. Koyama et al., PTP **44** (1970)→ $dn_1/d\epsilon$

K. Takahashi et al., ADNDT **12** (1973)→GT1

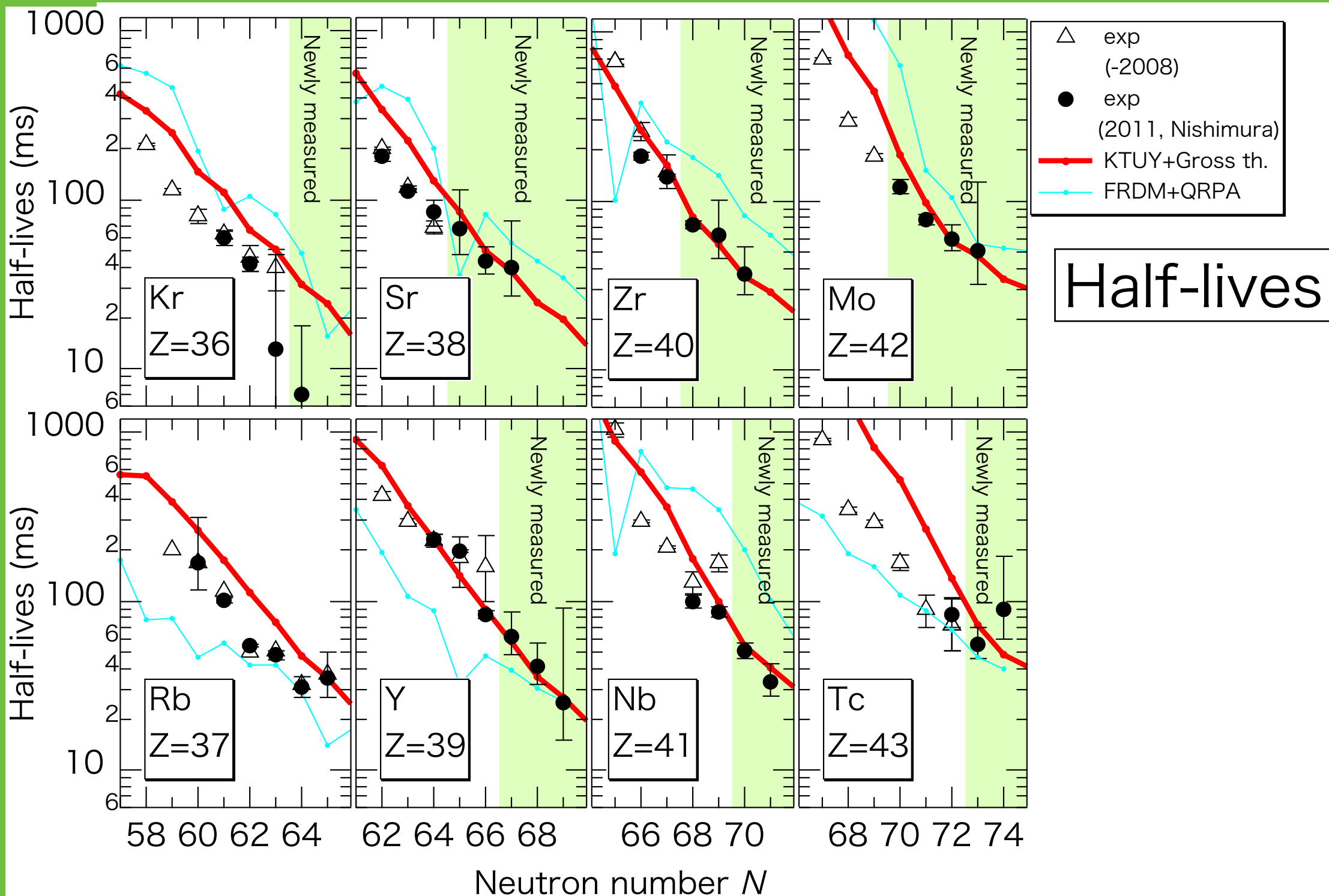
T. Kondoh et al., PTP **74** (1985)→BCS UV-factor

T. Tachibana et al.. PTP **84** (1990)→ $D(E, \epsilon)$

T. Tachibana et al., Proc. ENAM95 (1995)→GT2

- The gross theory includes:
1. Strength function (sum rules are considered)
 2. BCS pairing (simply)
 3. Forbidden transition
 4. Fermi-gas level density (discrete treatment on the surface level))

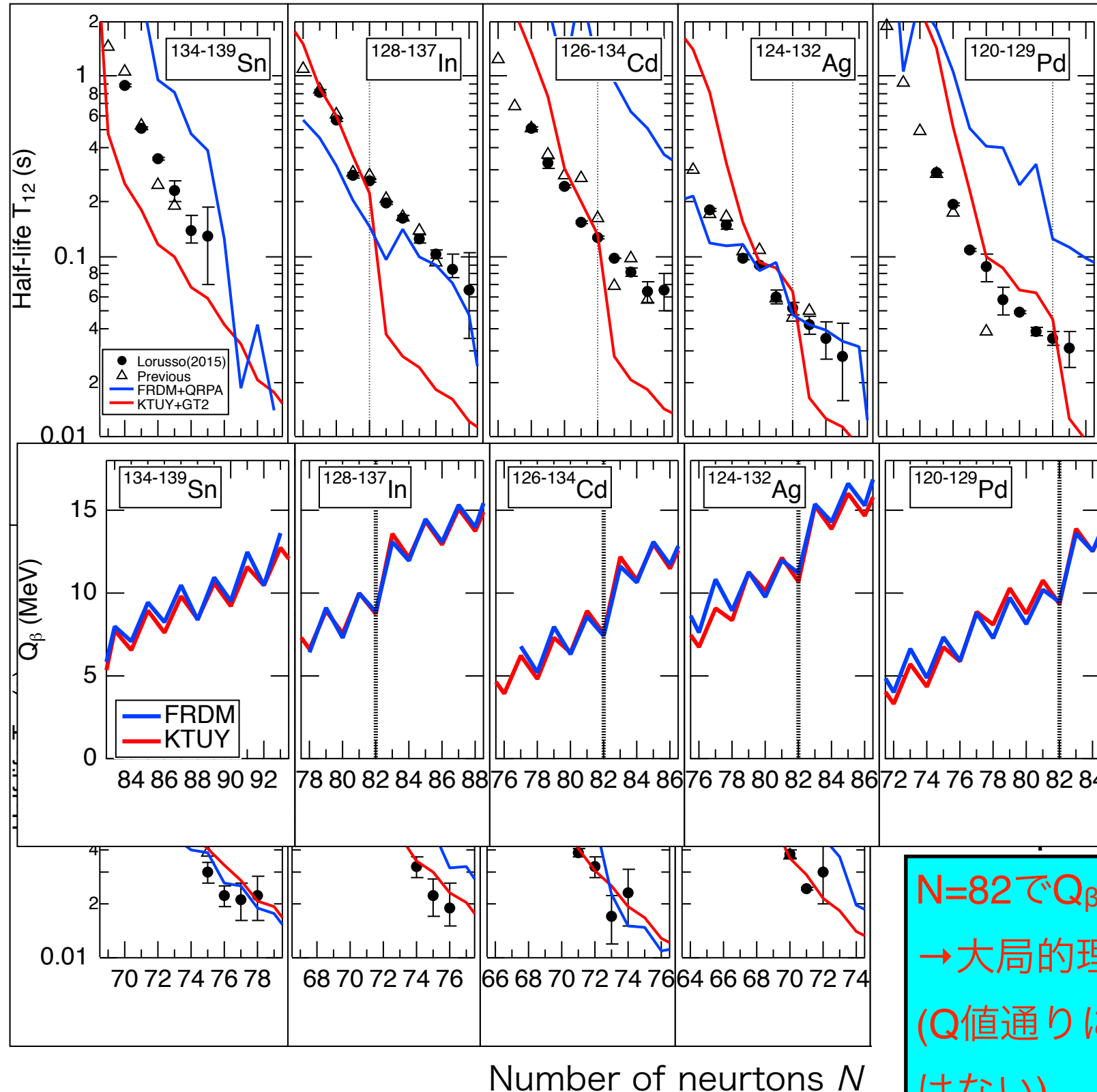
Average treatment

$T_{1/2}$ Systematics of neutron-rich nuclei

S. Nishimura et al., PRL106 (2011)

Z=50およびそれ以下

N=82を境にそれより上で半減期がずれる



Red : KTUY+GT2
 Blue : FRDM+QRPA
 ●, △ : experiment

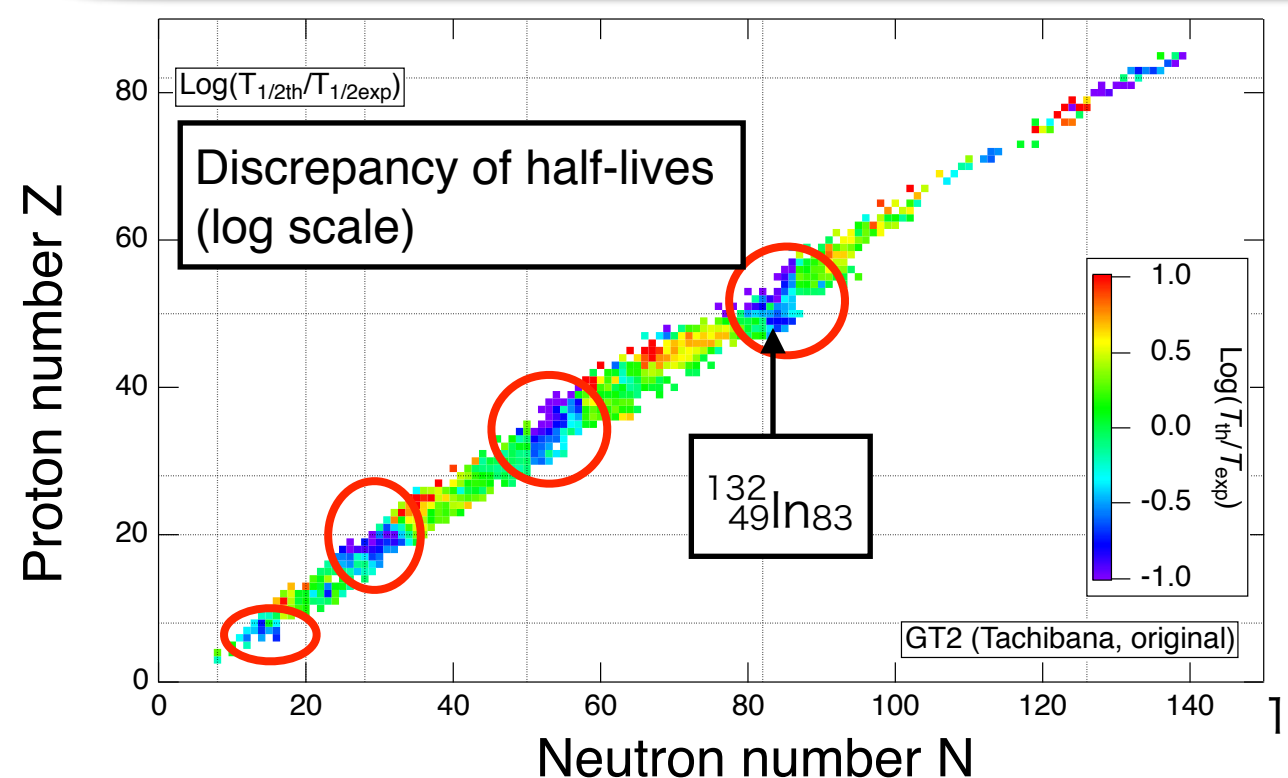
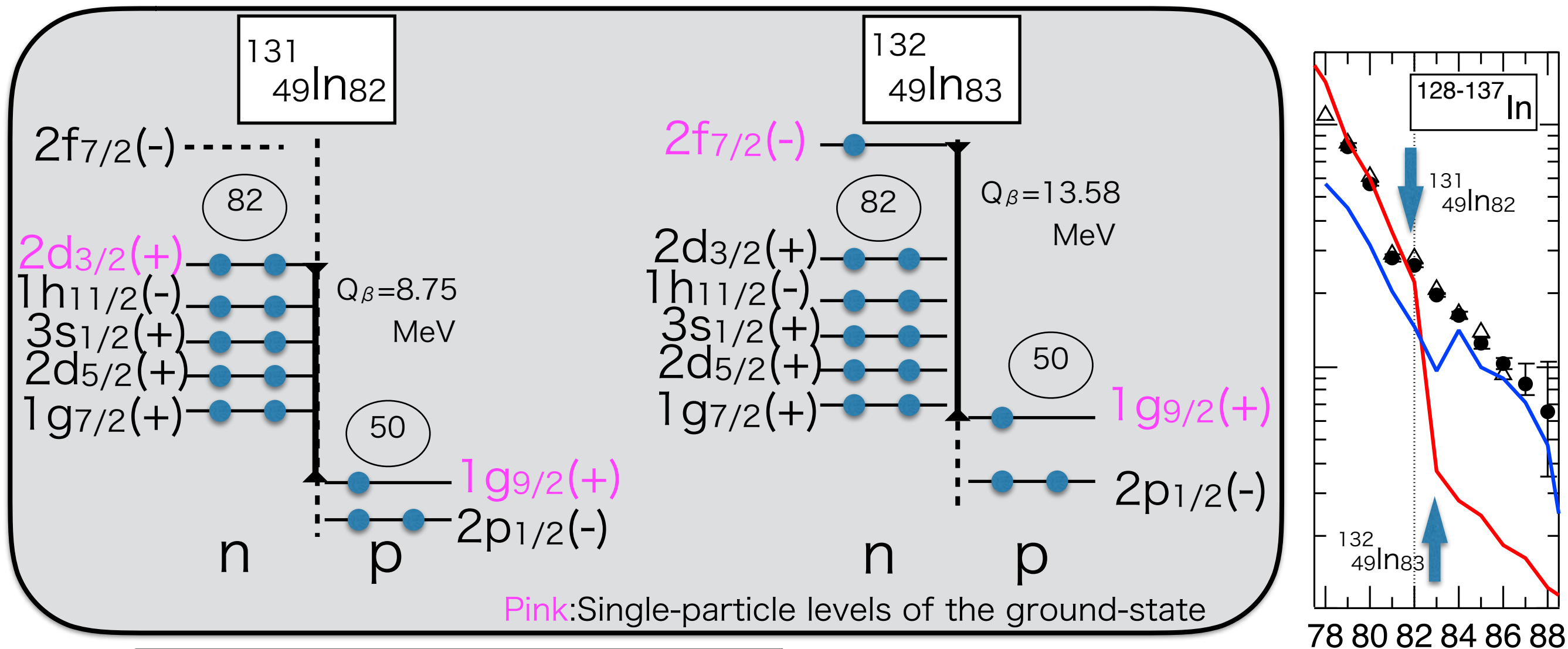
Gross theory: Steep changes in the
 $N=82$



Gross theory:
 produces experimental trends here.

N=82で Q_β が急に下がる
 → 大局的理論では Q_β に呼応して半減期が変化
 (Q値通りに半減期が変化、しかし実験はそうでない)

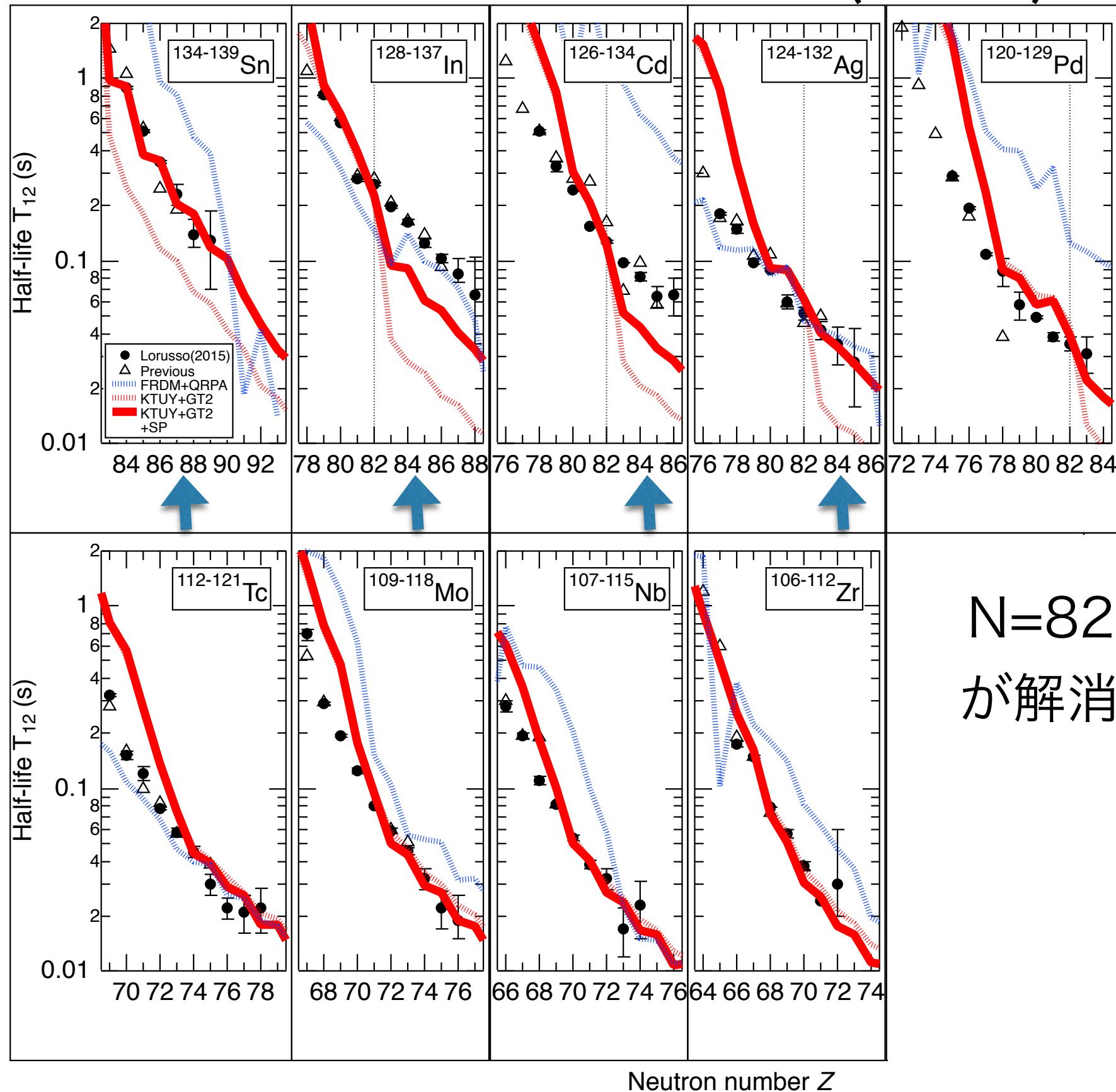
スピン・パリティの不一致：禁止遷移が主要な崩壊



基底状態の単一粒子準位でパリティが
変化(+ \rightarrow - or - \rightarrow +)している

大局的理論の改良：パリティ変化する場合は
許容遷移を抑制するように処方

Half-lives (Local)



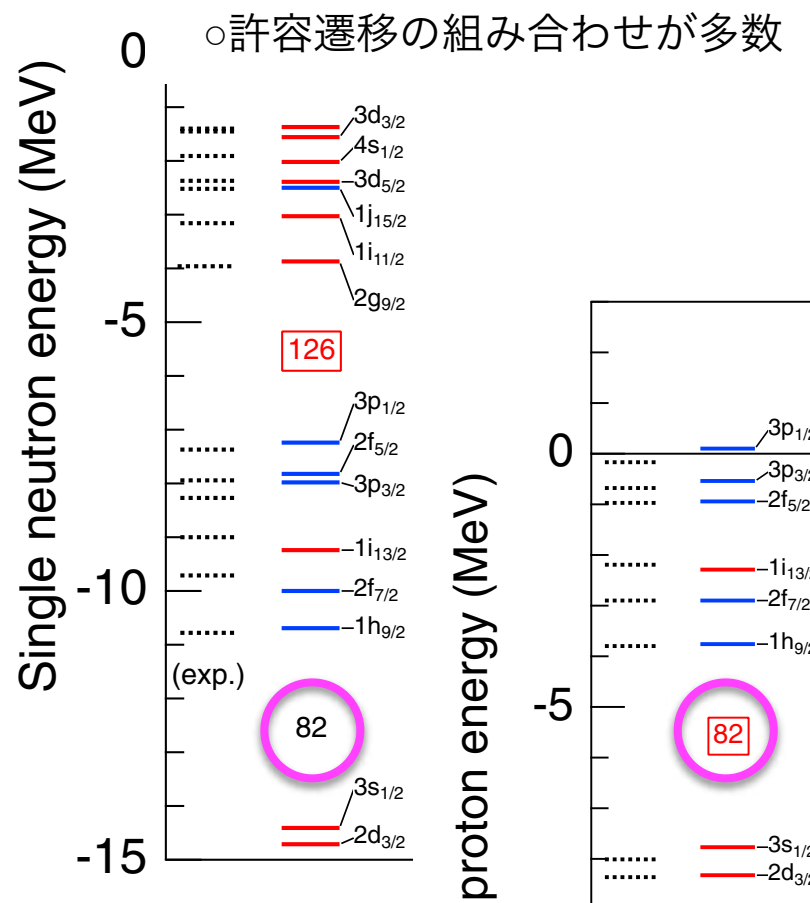
Red : KTUY+GT2
 Blue : FRDM+QRPA
RED : KTUY+GT2'
Spin-Parity

N=82における急激な変化
 が解消→実験半減期をよく
 再現

N=Z近辺：隣の準位が類似
→β崩壊では許容遷移に

N=Z近辺：隣の準位が**one mejor shell**ずれる
→β崩壊では禁止遷移に

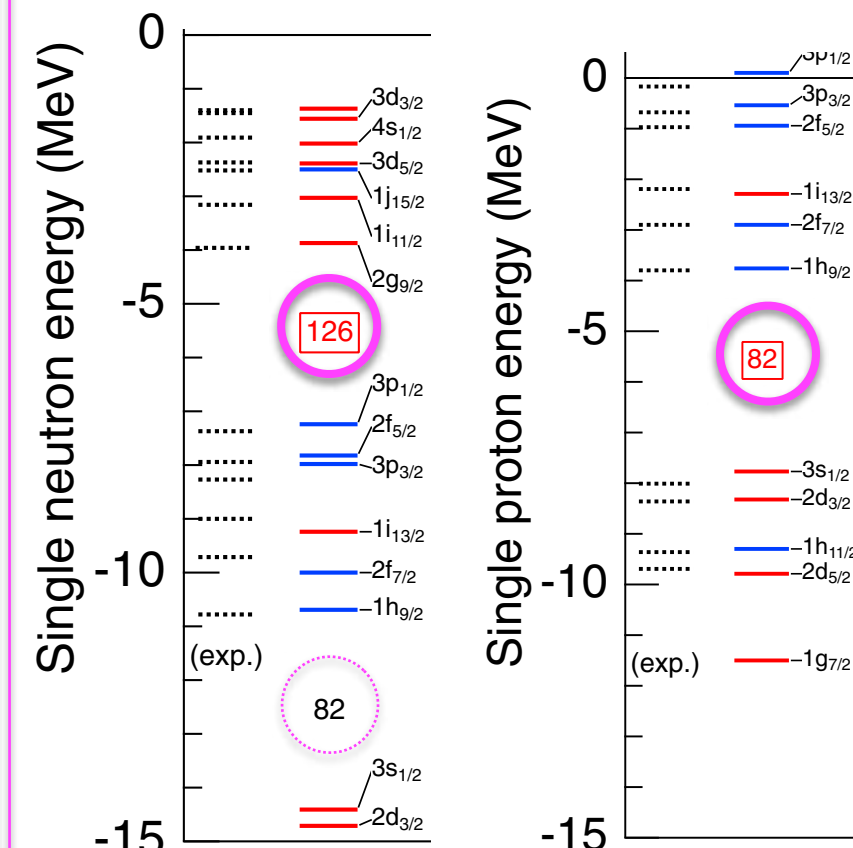
N=Z核（仮想的）



^{164}Pb (Z=82, N=82)
(実際はクーロンで少々ずれる)

β崩壊安定核

○異なる状態同士→禁止遷移になりがち



^{208}Pb (Z=82, N=126)

表 1 β崩壊の禁止度

遷移様式	スピン	パリティ
許容遷移 (Fermi)	0	+
許容遷移 (Gamow-Teller)	0, ±1	+
第 1 禁止遷移	0, ±1, ±2	-
⋮	⋮	⋮
第 n 禁止遷移	±n, ±(n + 1)	(-) ⁿ

陽子、中性子の単一粒子準位が同じならこの遷移に
(N=Z付近の（軽い）原子核は概ねこのパターン）

N=Zでは許容遷移が優勢
N>Z、特にone mejor shell
ずれる場合では許容遷移
の可能性が減る

N=126付近の球形单一粒子：準位のミスマッチング

陽子数大

^{208}Pb (β 安定核)

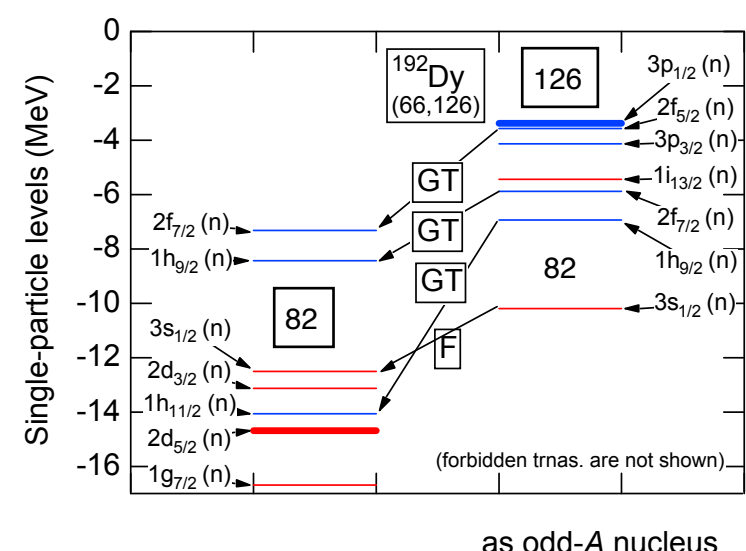
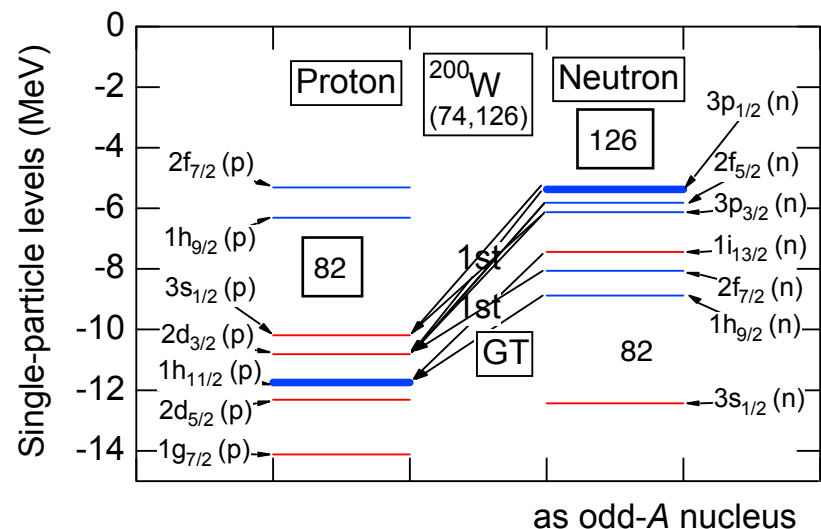
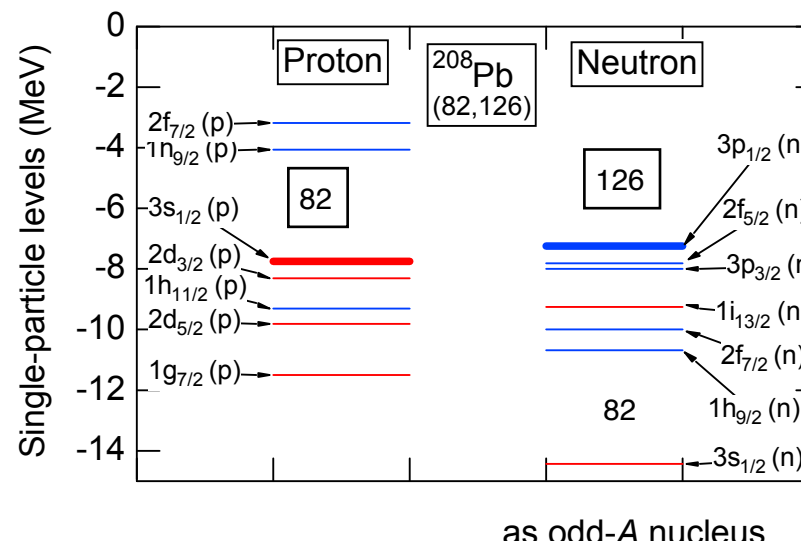
(N=126は固定)

^{200}W (中性子過剰)
 Q_β はそれほど大きくない

陽子数小

^{192}Dy (中性子過剰)
 Q_β 大

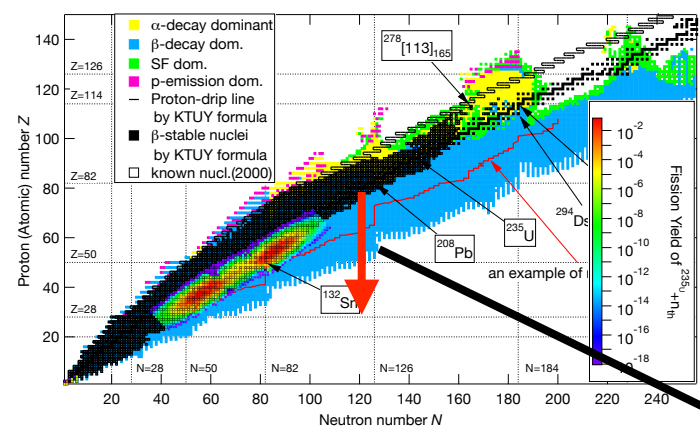
安定核：陽子 $3s1/2(+)$ と中性子 $3p1/2(-)$



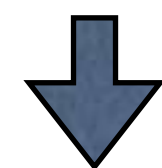
陽子と中性子でone major shellのずれ

許容遷移の組み合わせがほとんど存在しない

許容遷移の組み合わせが復活



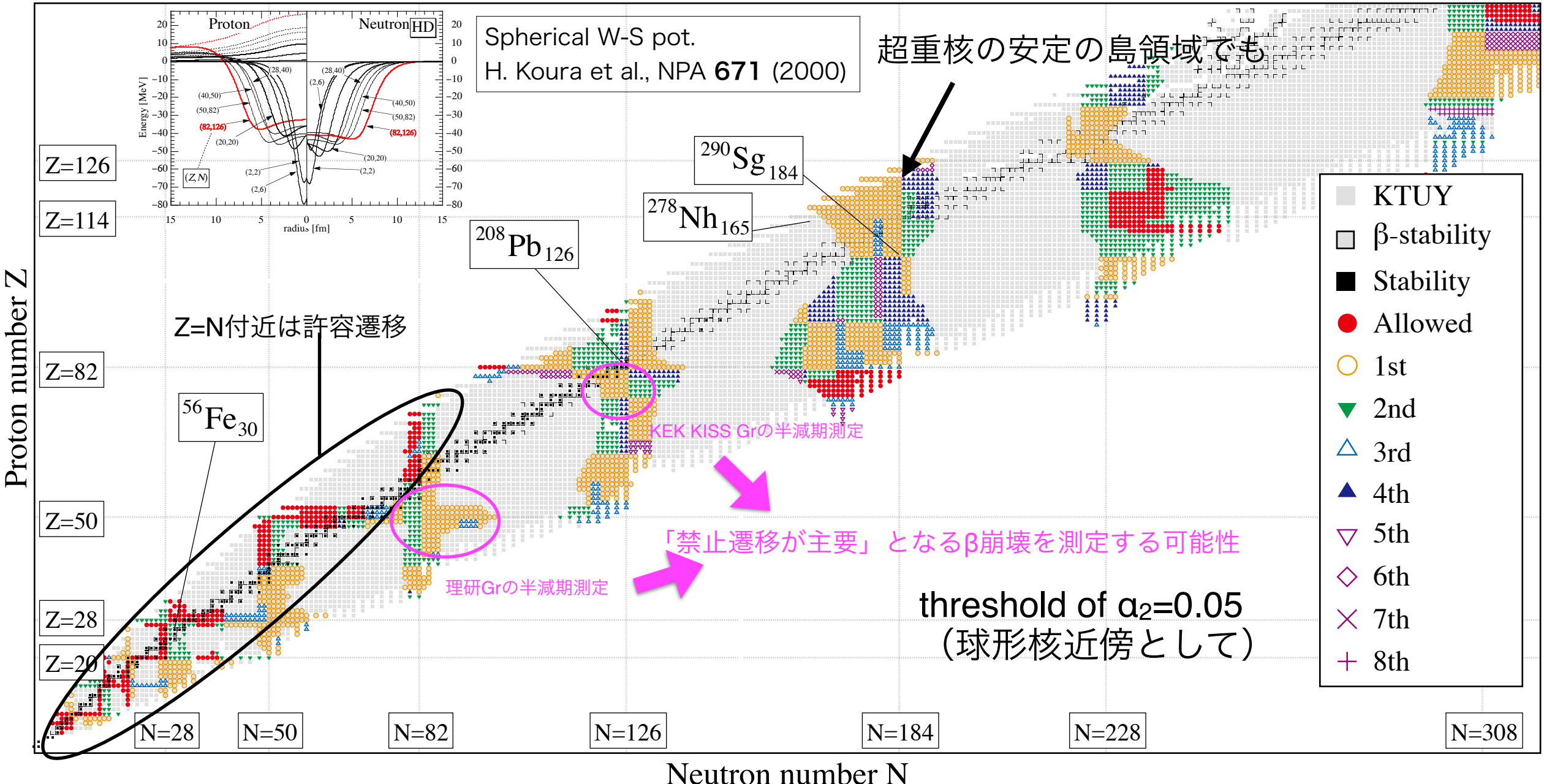
核図表上の動き



禁止遷移が主要となる

陽子準位が下がり (クーロンエネルギーが減ったため)
中性子準位が上がり (対称エネルギー)
準位の不一致が解消されている

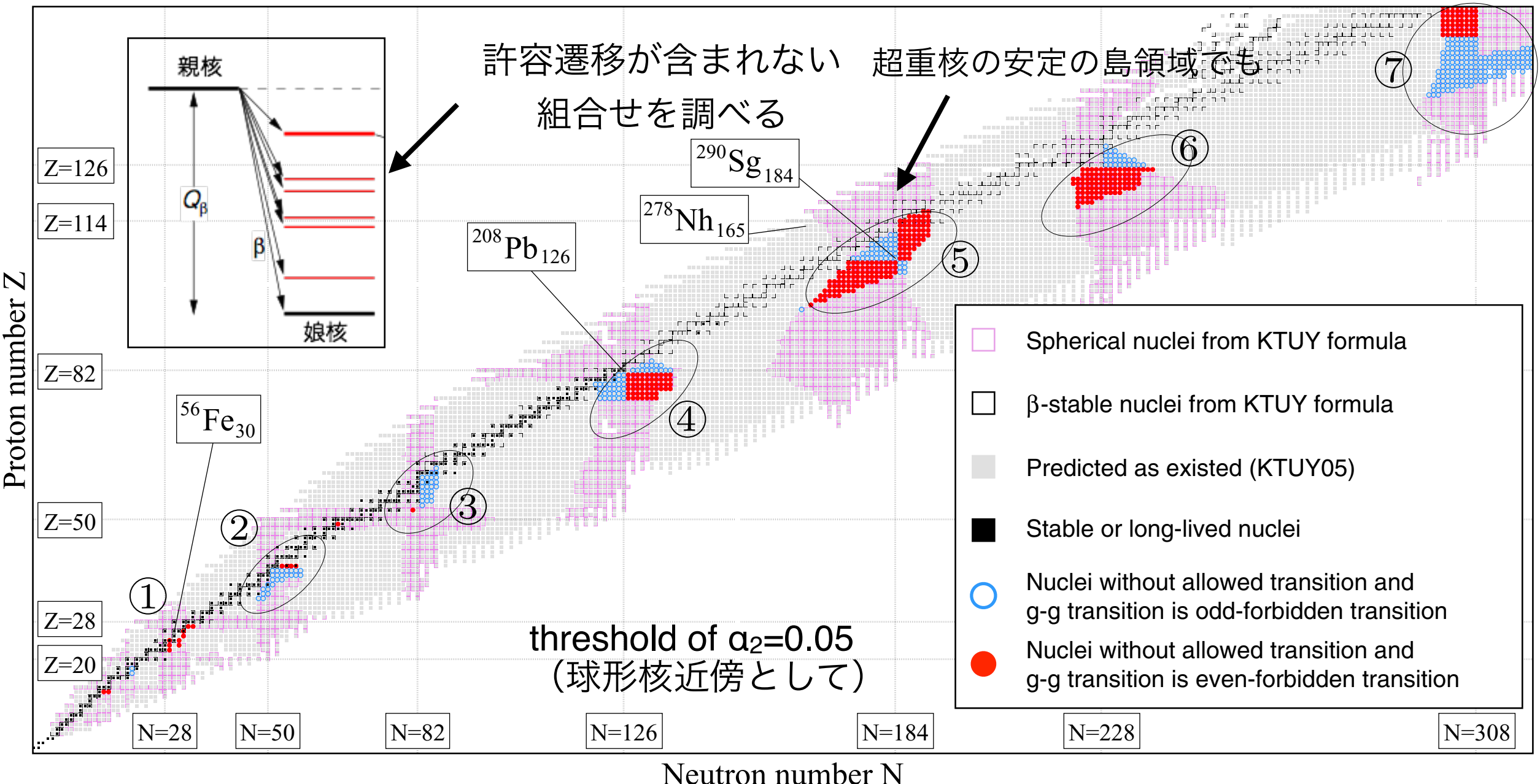
基底状態間のスピン・パリティから分類したベータ崩壊の型 (球形単一粒子準位)



- $N=Z$ 付近はAllowed transition (●) の形を示す (類似の準位に落ちるのである意味当然)
- 中性子過剰 $N=126$ 付近 (に限らず閉殻領域) は禁止遷移の形を示す
(少なくともone major shell ずれる)

励起状態にも禁止遷移が存在しない核種の分布

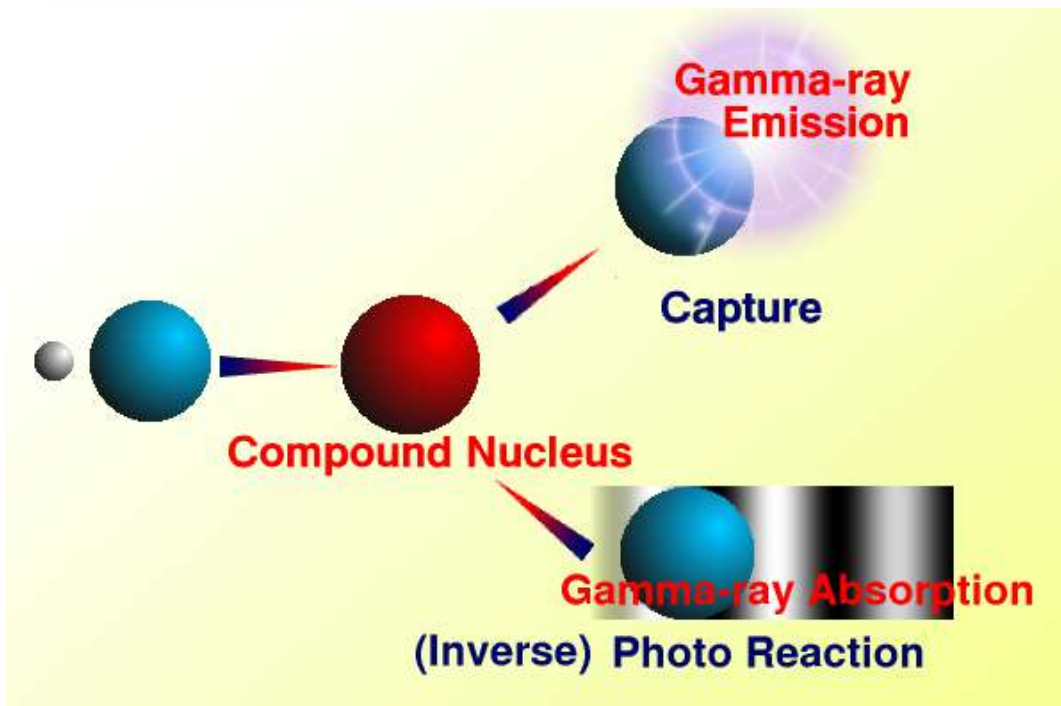
(球形単一粒子準位)



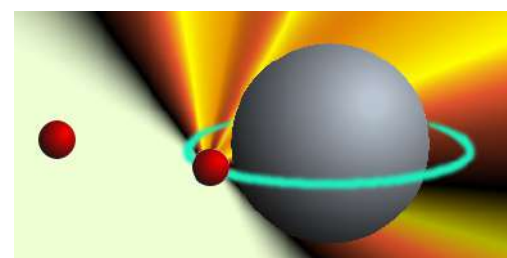
励起状態まで考慮すると、禁止遷移が主要になるのは「**安定核近傍の中性子過剰核側**」で、「**2重閉殻近傍核**」

(変形核領域だとNilsson軌道準位や集団運動準位が割り込む→許容遷移も現れ得る)

中性子捕獲断面積：HF模型とDirect semi-direct模型



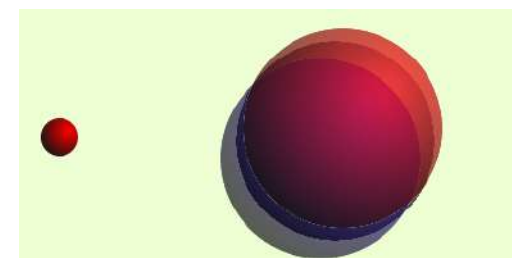
Direct Capture



- Electric dipole radiation transition from optical potential to single-particle state
- Amplitude

$$T_d = C_d \langle R_{nlj} | r | R_{LJ} \rangle$$

Semidirect (Collective) Capture

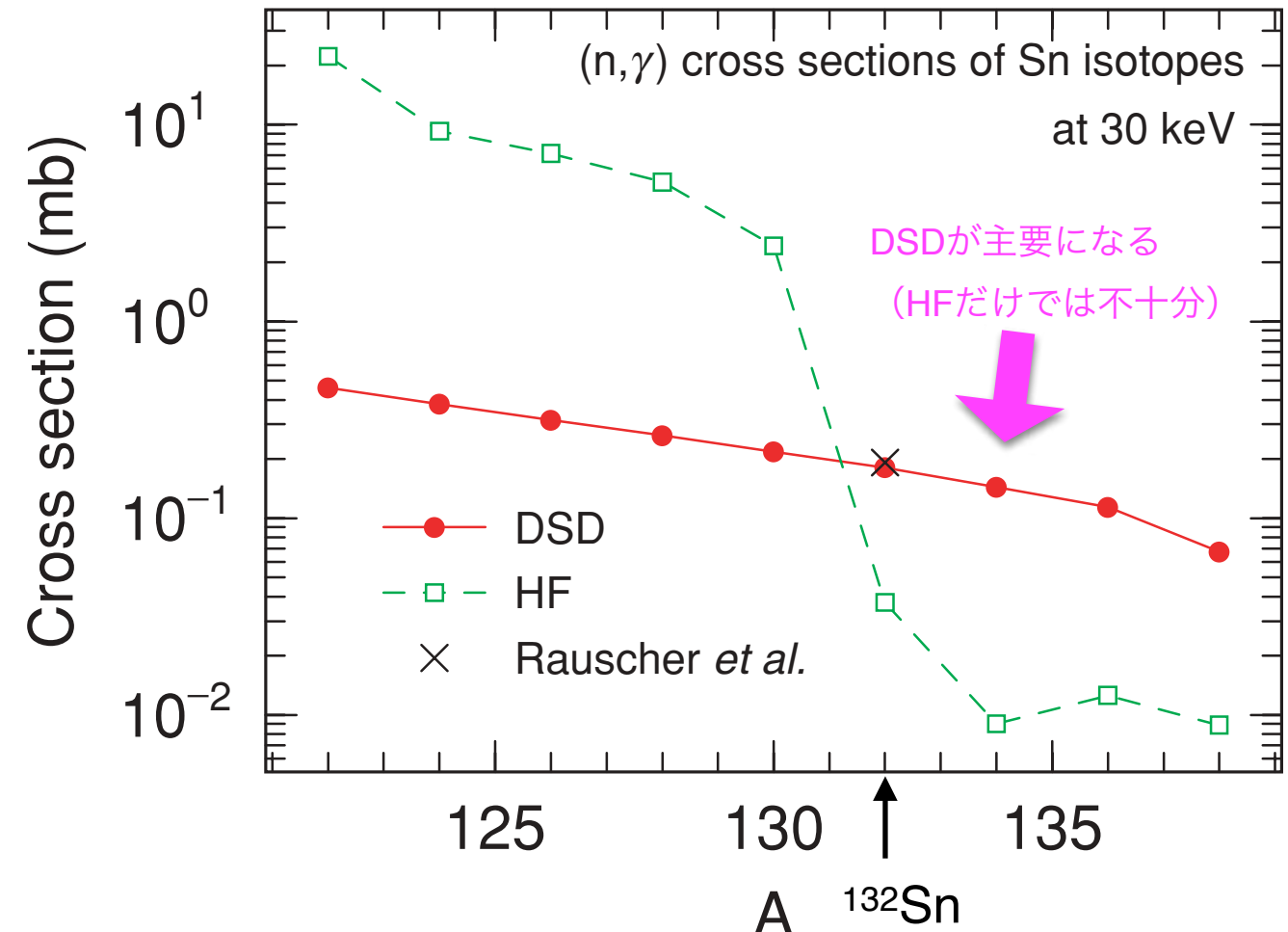


- Excite GDR, and decay into single-particle state
- Vibration-particle coupling, $V_1 h(r)$
- Amplitude

$$T_s = C_s \langle R_{nlj} | V_1 h(r) | R_{LJ} \rangle$$

$$\times \frac{|M_{GDR}|^2}{E_\gamma - E_{GDR} + i\Gamma_{GDR}/2}$$

T. Kawano

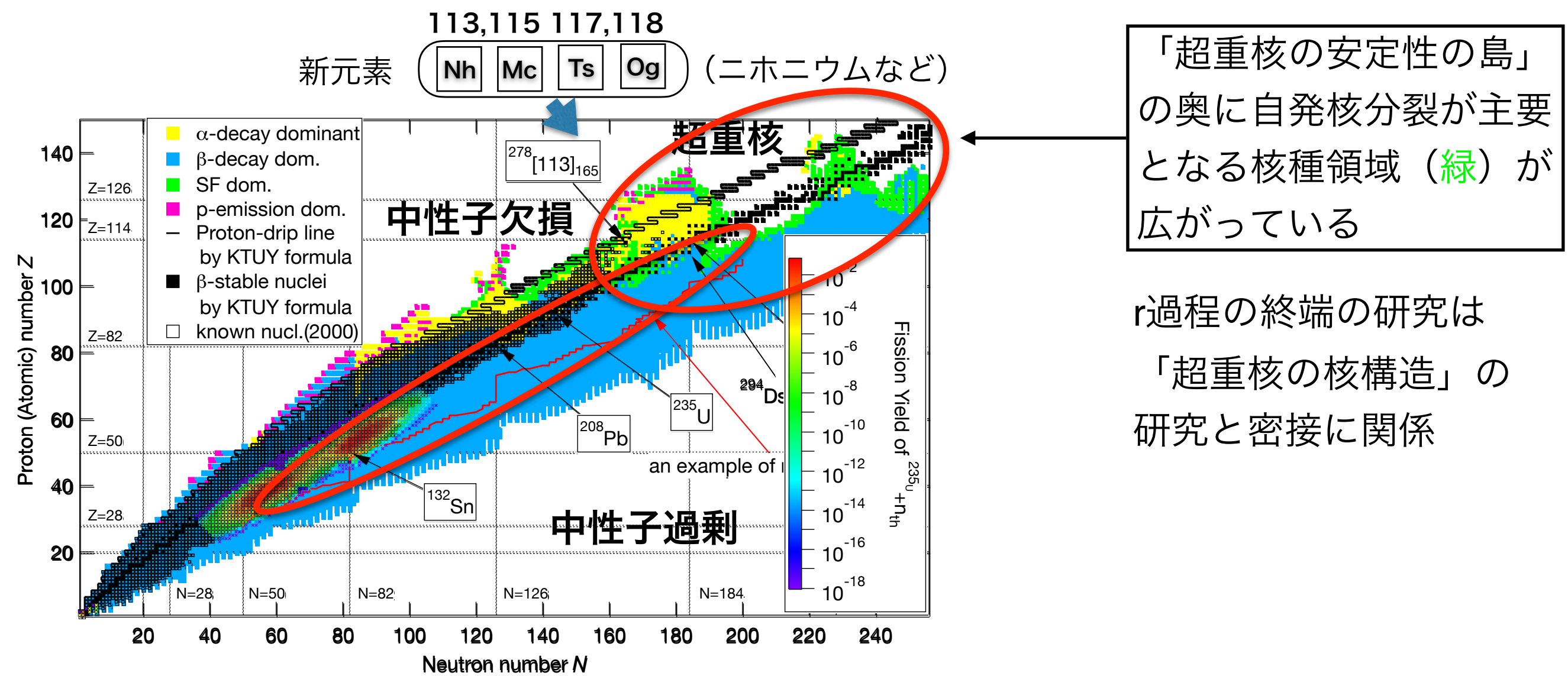


S.Chiba, H. Koura, T. Hayakawa, T. Kawano et al., PRC77 015809 (2008)

- 单一粒子準位計算はmodified WS pot (Koura, Yamada, 2000)より

中性子過剰核側の中性子捕獲断面積：
統計模型での断面積よりDSDでの断面積
が大きくなる。

核分裂

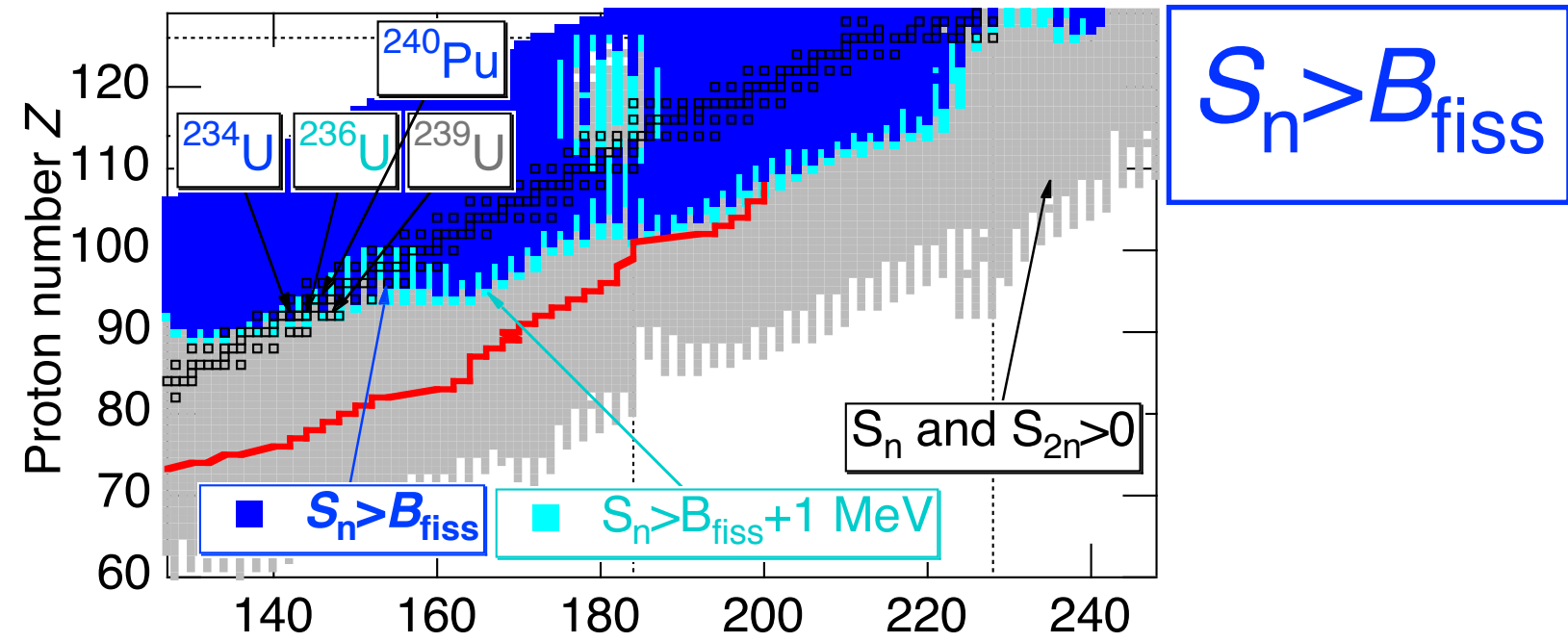
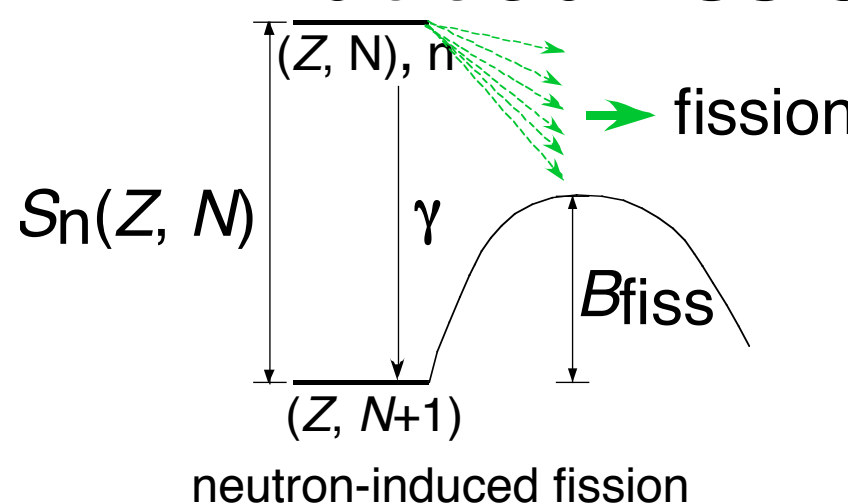


中性子過剰核の β 崩壊は天体核物理、原子炉物理において重要

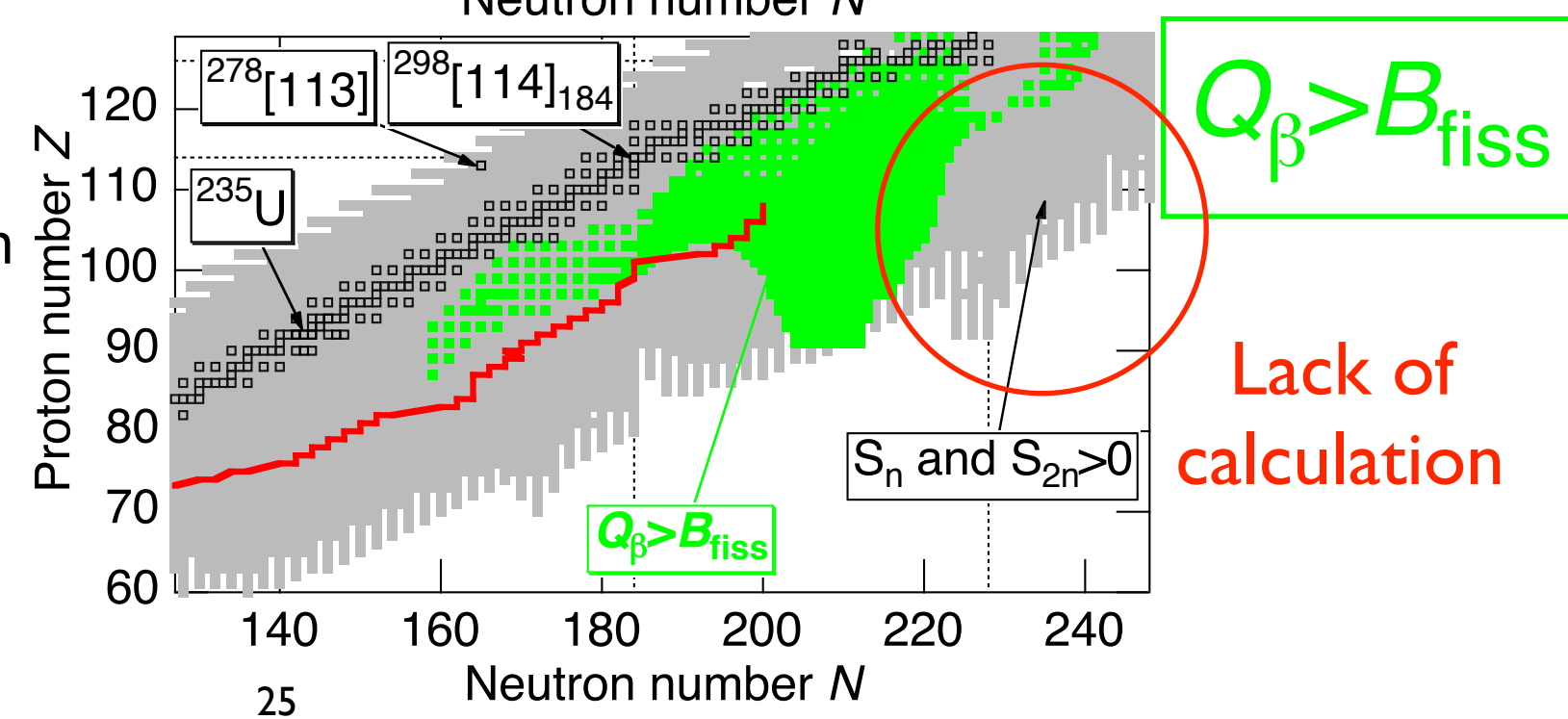
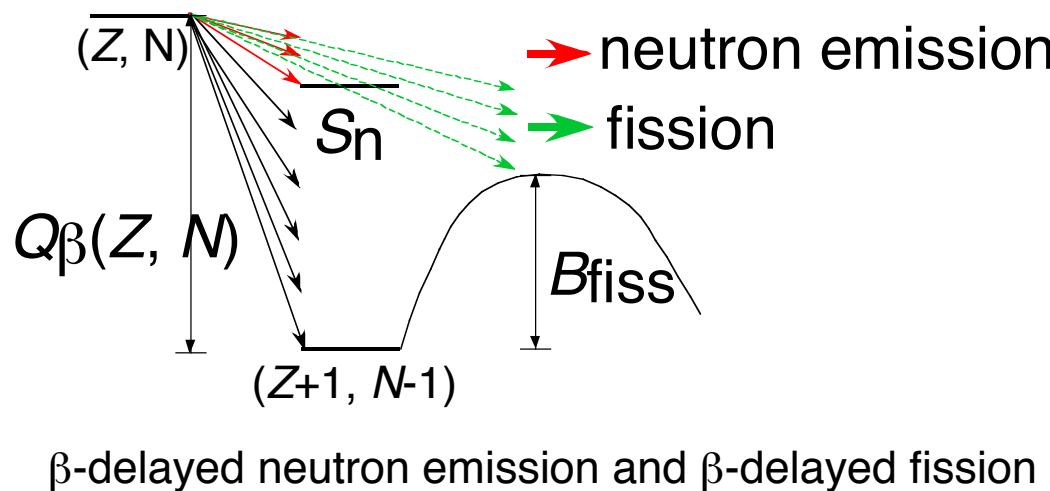
Region of beta-delayed and neutron-induced fission

Nuclear masses and fission barrier: KTUY (Koura-Tachibana-Uno-Yamada) mass formula

- **n-induced fission**



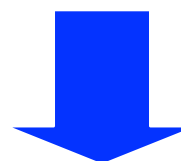
- **β -delayed fission**



I. 核分裂片分布が与えるr過程生成量への影響

Potential Energy Surface (PES)

Liquid-drop model + Two-center shell model



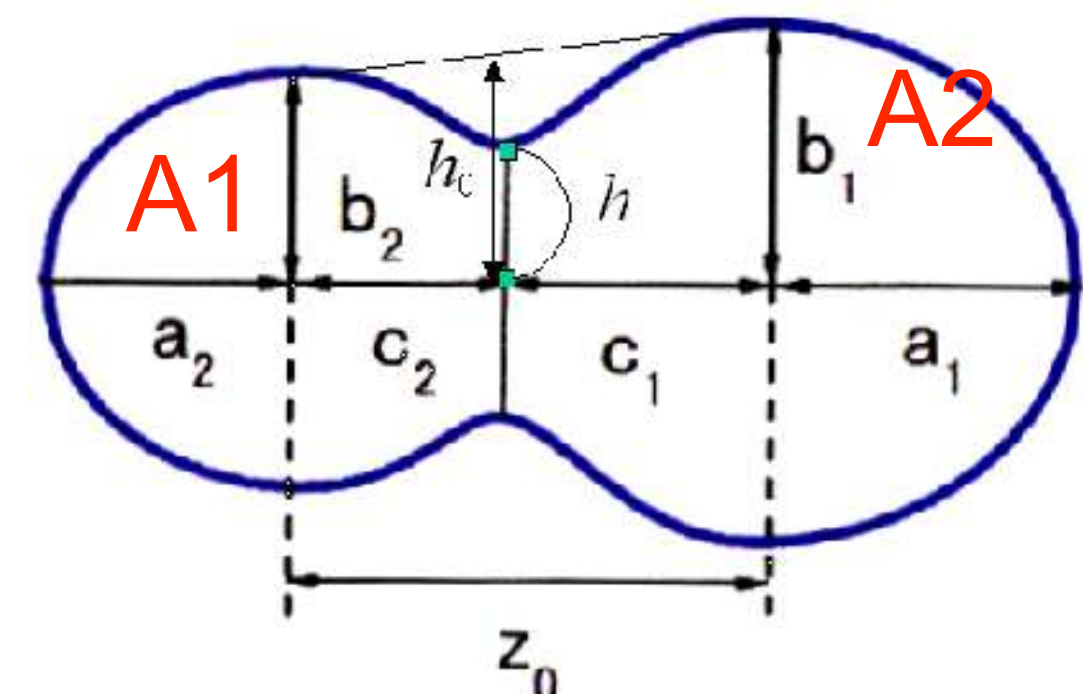
Code: Yamaji-Iwamoto (70)

PES: 3-dim. deformation parameter space

- Center-of-mass distance: $Z = \frac{Z_0}{BR}$

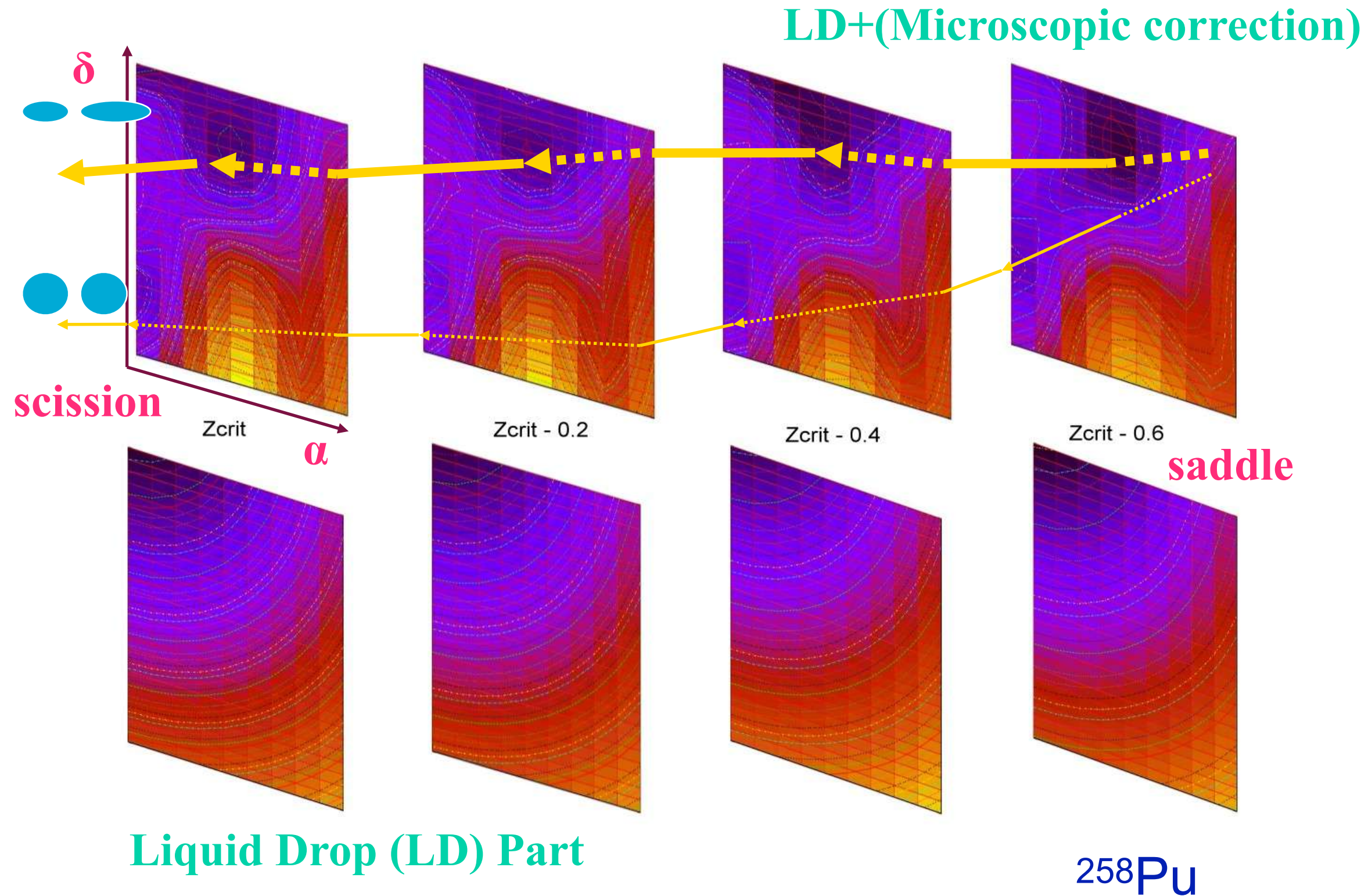
- Deformation of fragment $\delta = \frac{3(a - b)}{2a + b}$

- Mass asymmetry $\alpha = \frac{A_1 - A_2}{A_1 + A_2}$



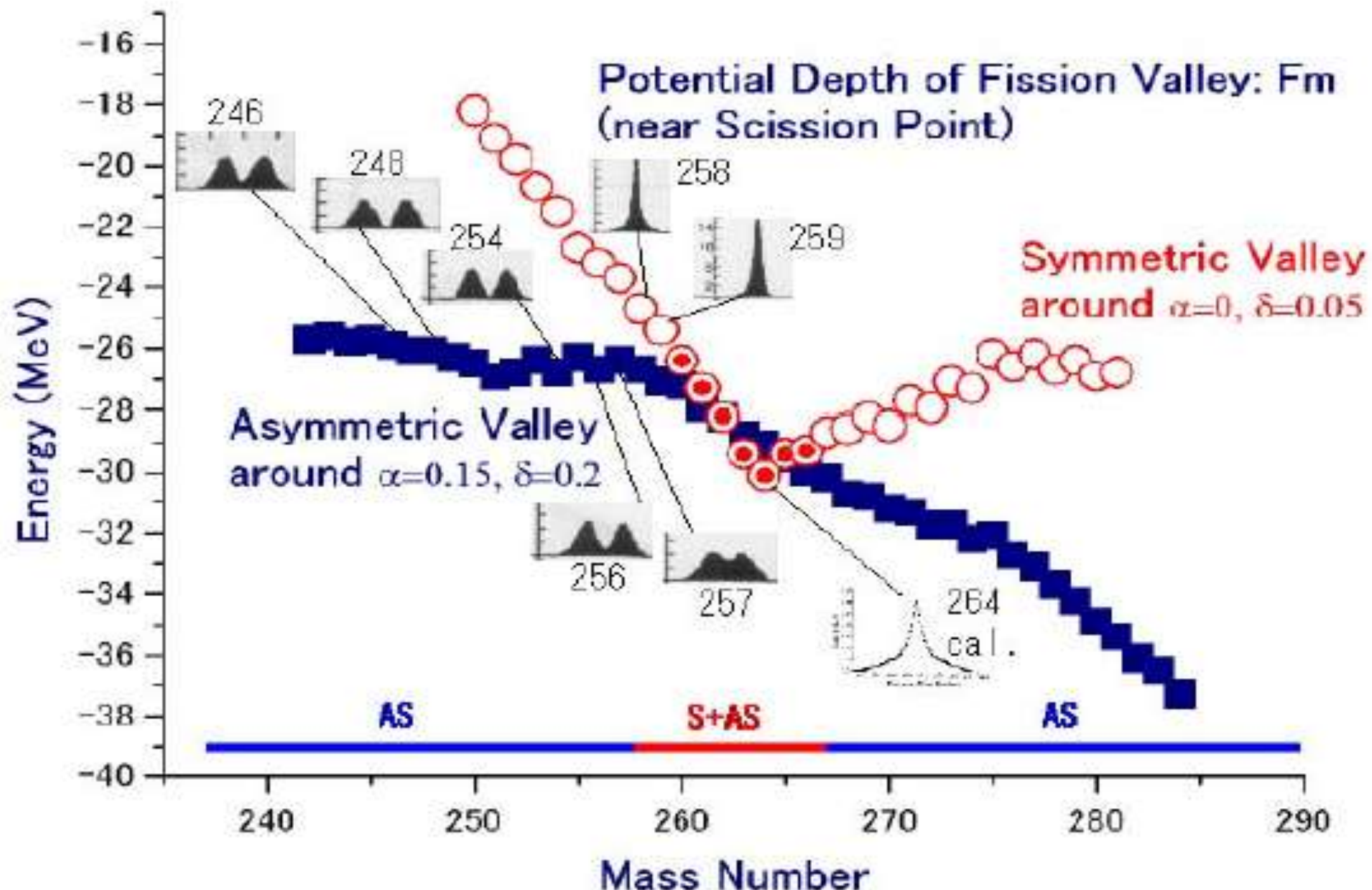
$$\left. \left\{ B = \frac{3+\delta}{3-2\delta} , \quad R : \text{Radius of the spherical compound nucleus} \right. \right]$$

Path of fragments in the 3-dim. deformation space



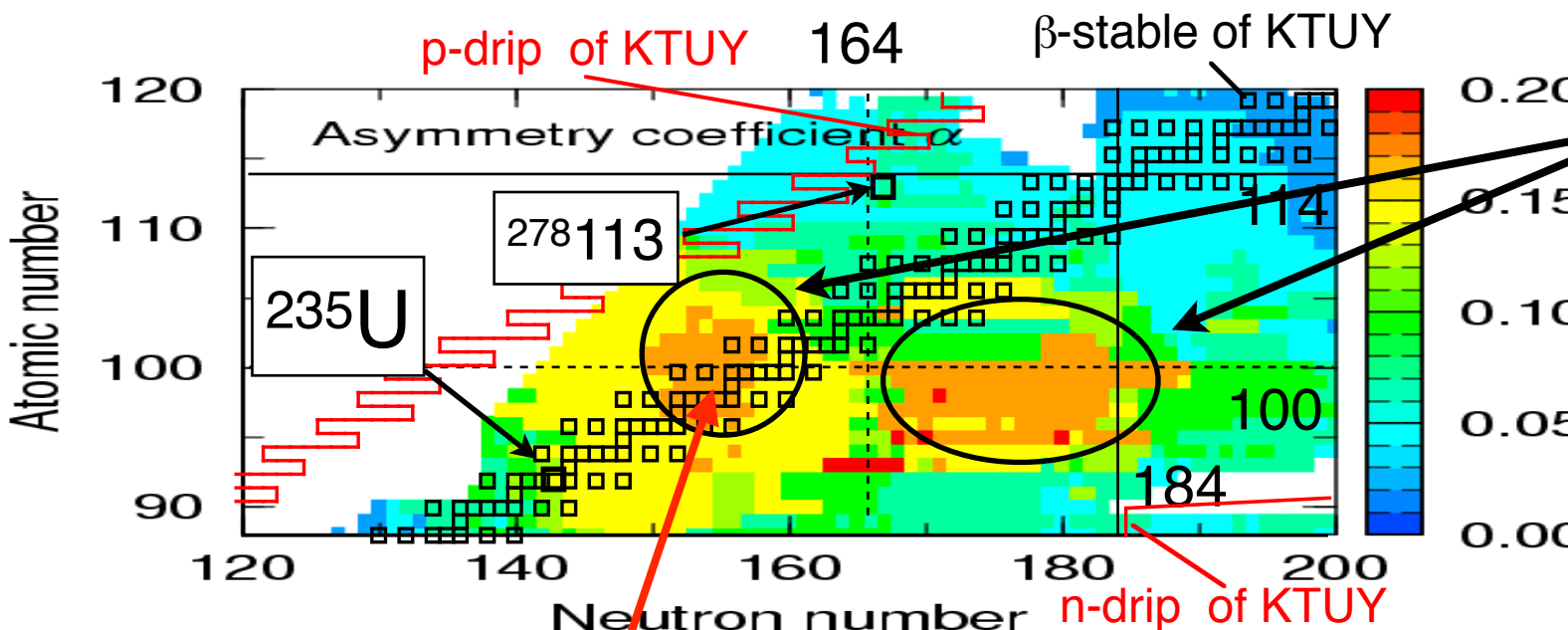
Region of Symmetric/Asymmetric fission

Analysis of PES near Scission Point for Fm isotopes



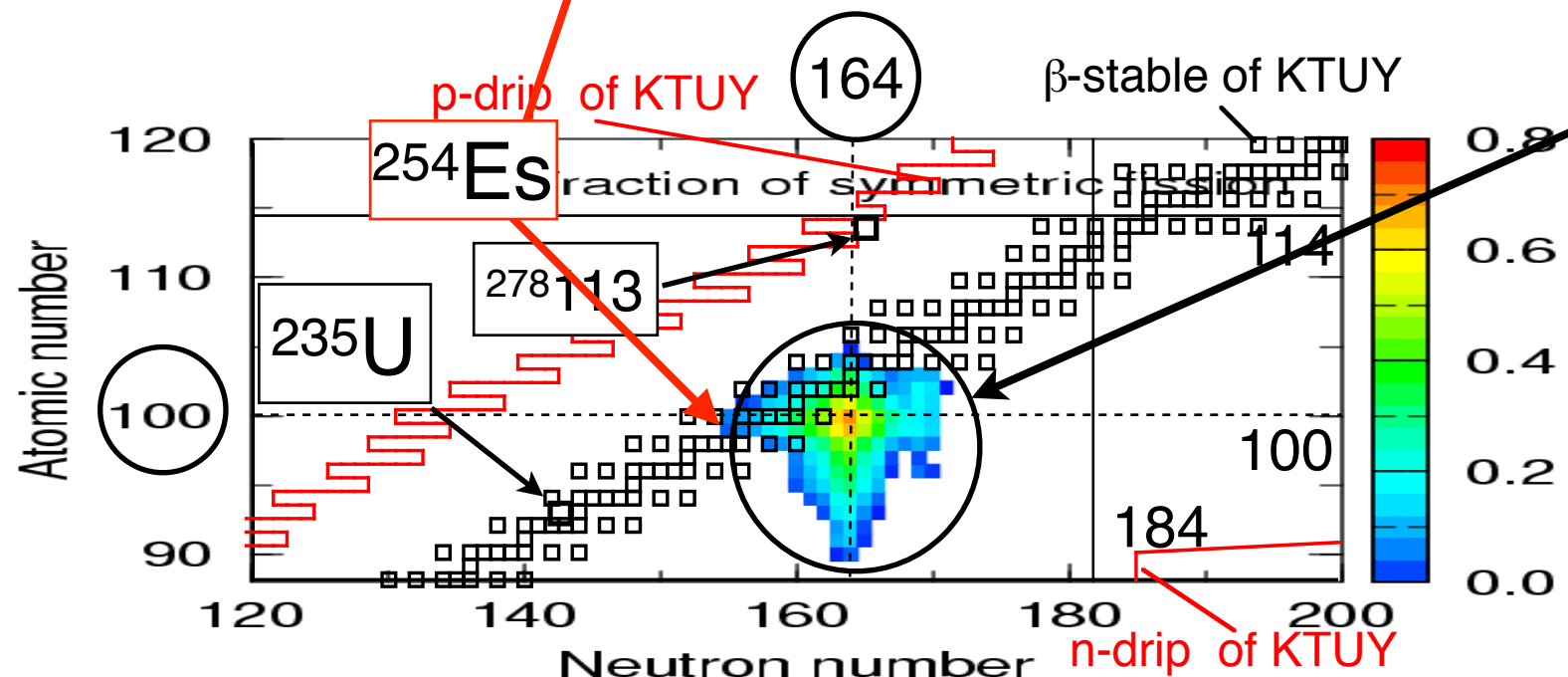
Result - Asymmetric parameter

Asymmetric coefficient α



Well-asymmetric region:
Located around ^{254}Fm
($Z=100, N=154$), ^{254}Es and
 ^{264}Cf ($Z=98, N=176$)

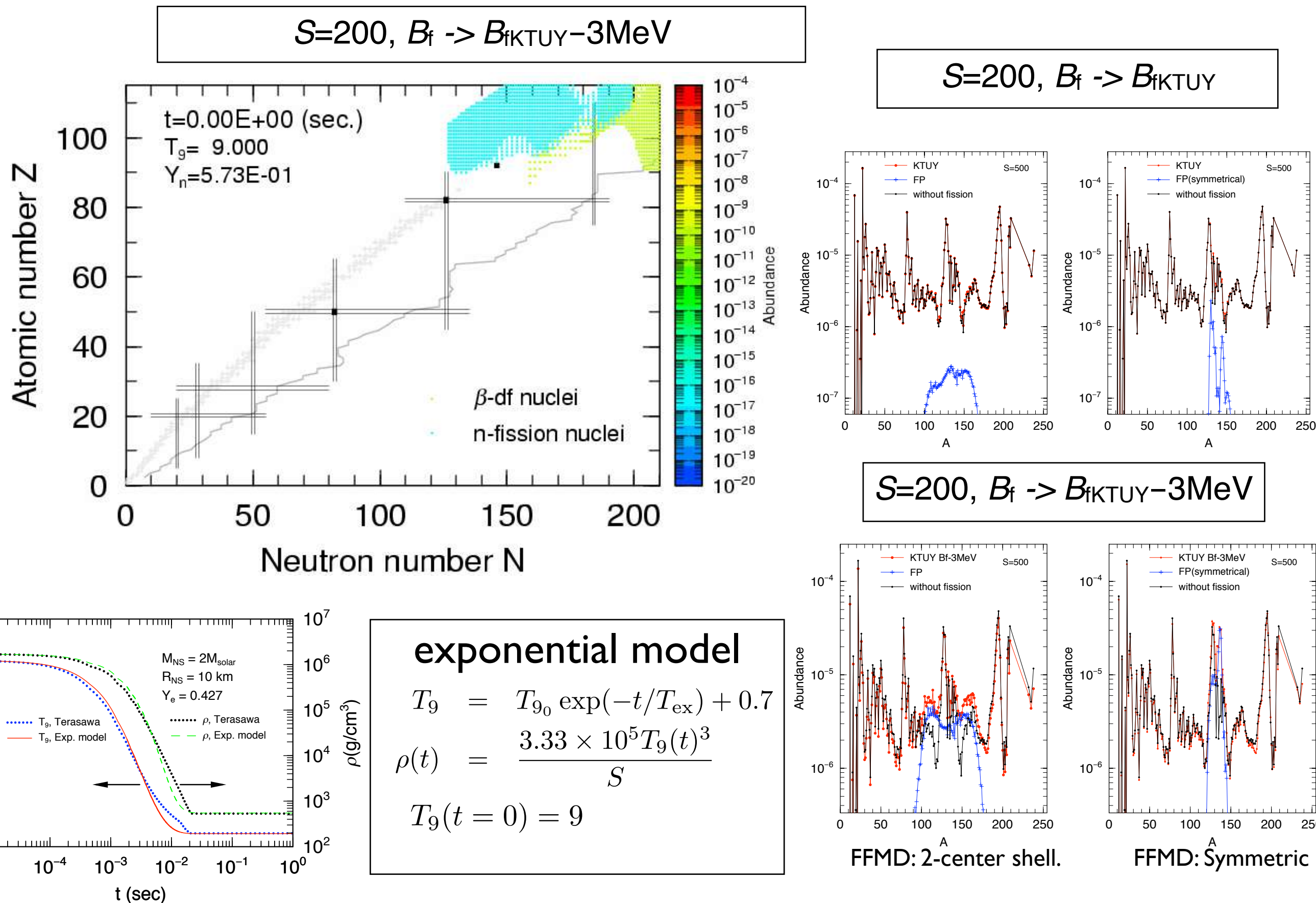
Fraction of Symmetric fission



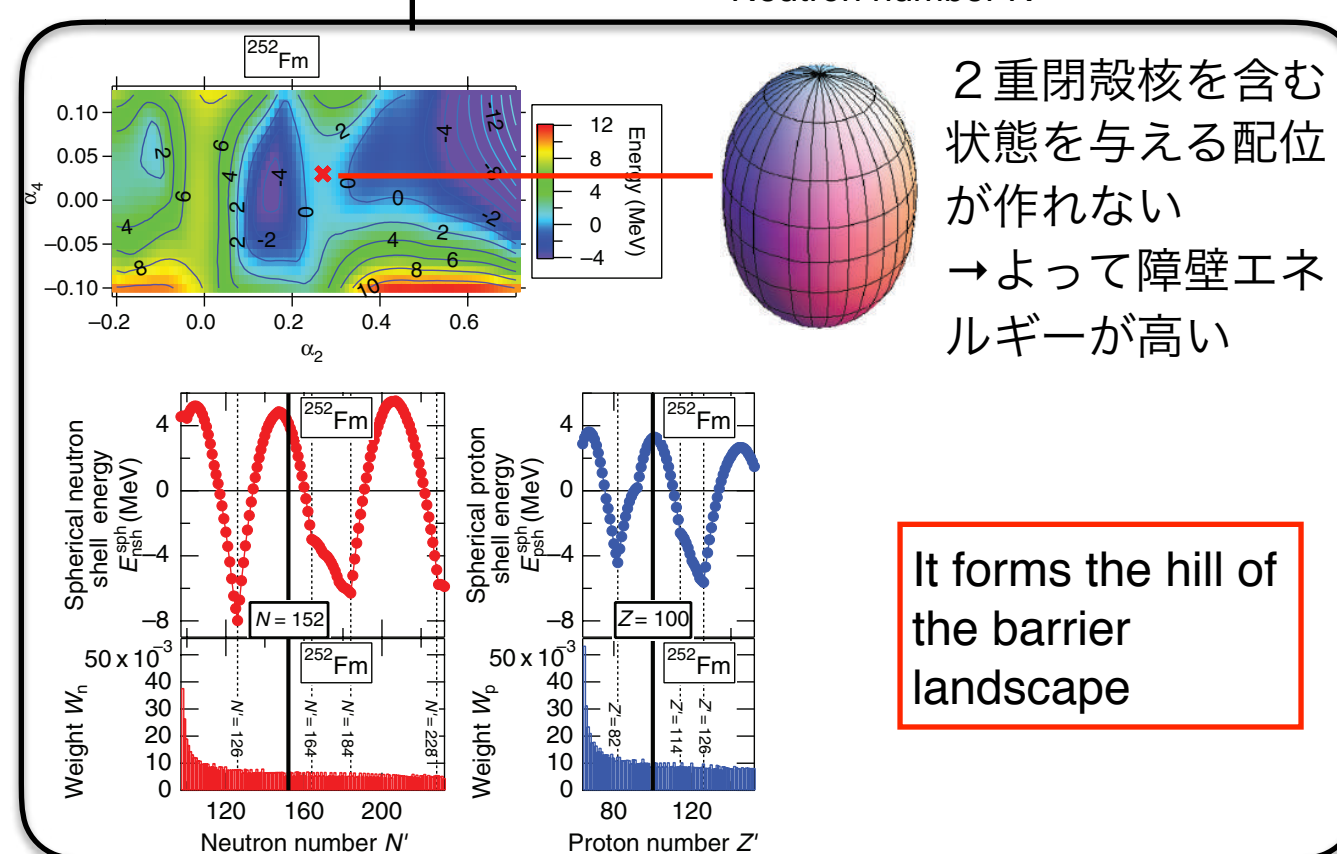
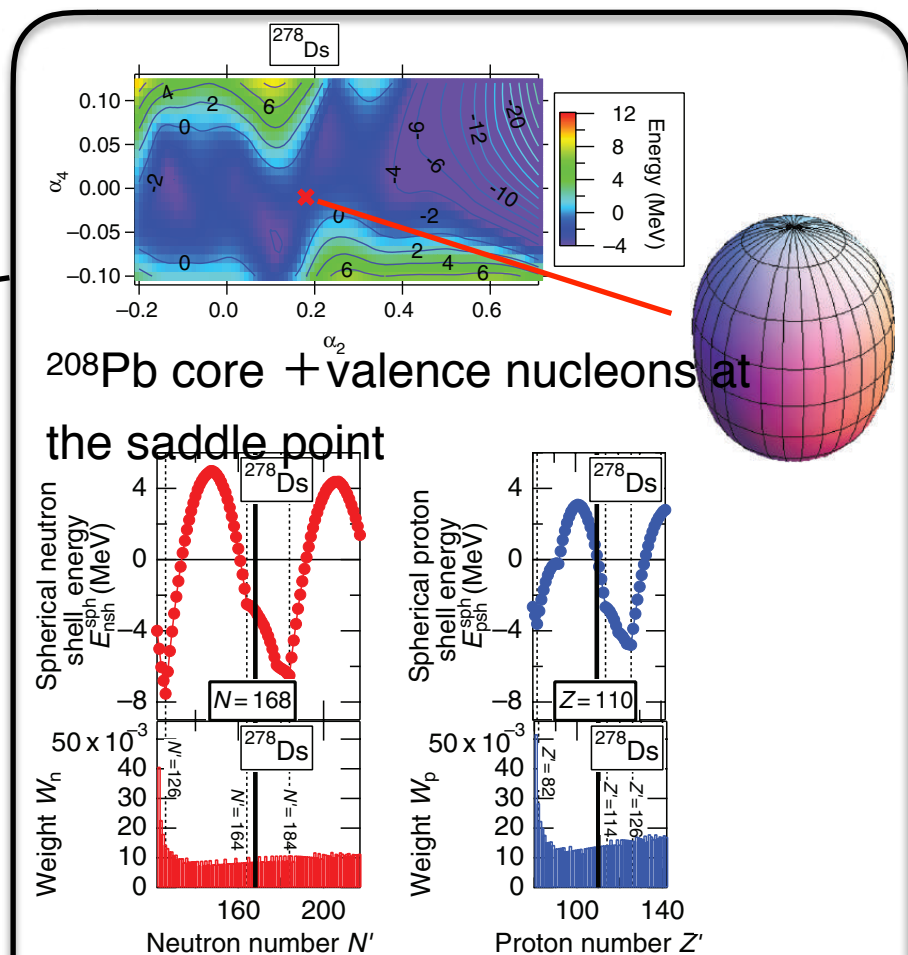
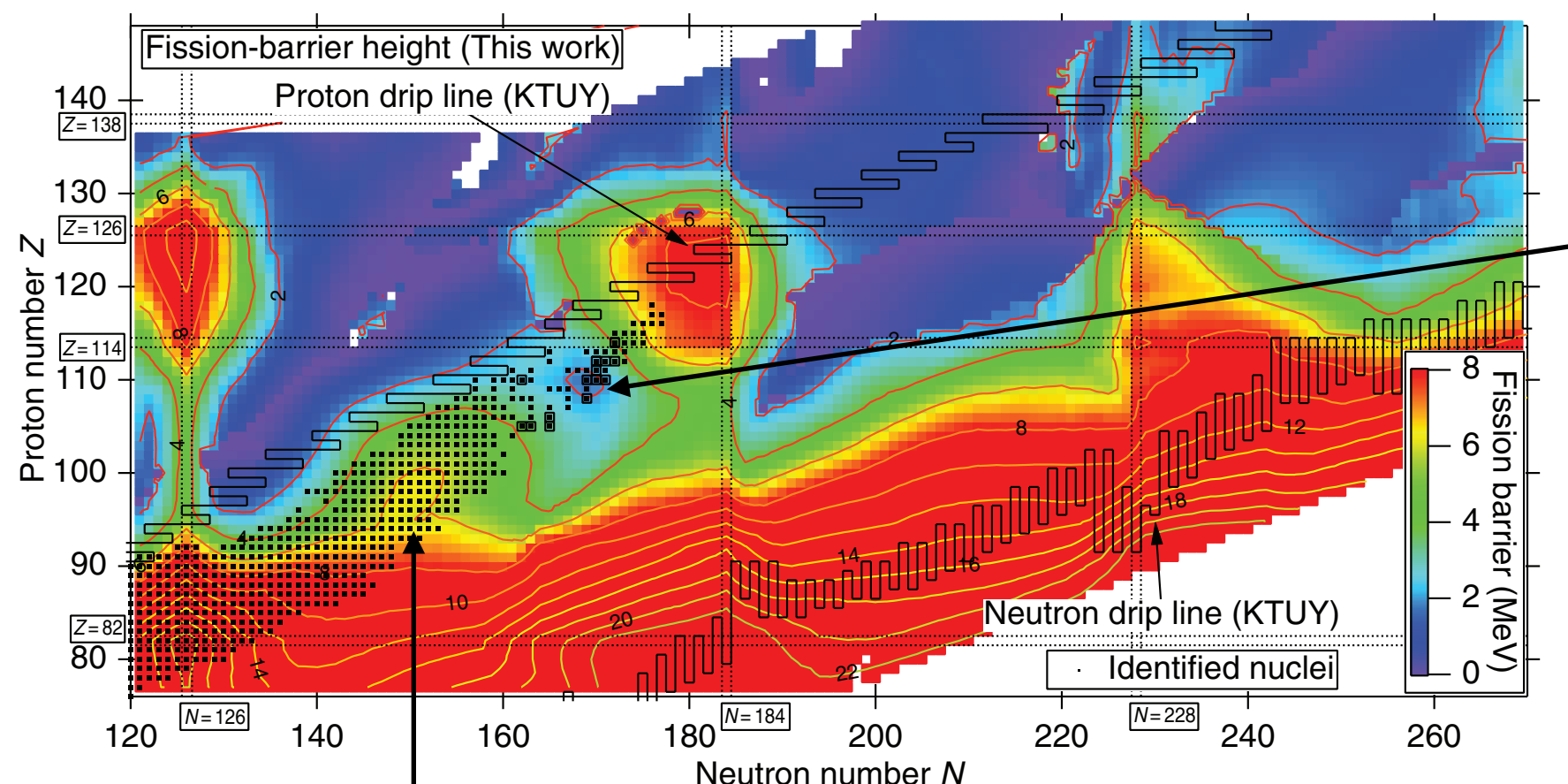
Symmetric-fissioning region:
Located around
 ^{264}Fm ($Z=100, N=164$)

Double of
 ^{132}Sn ($Z=50, N=82$)

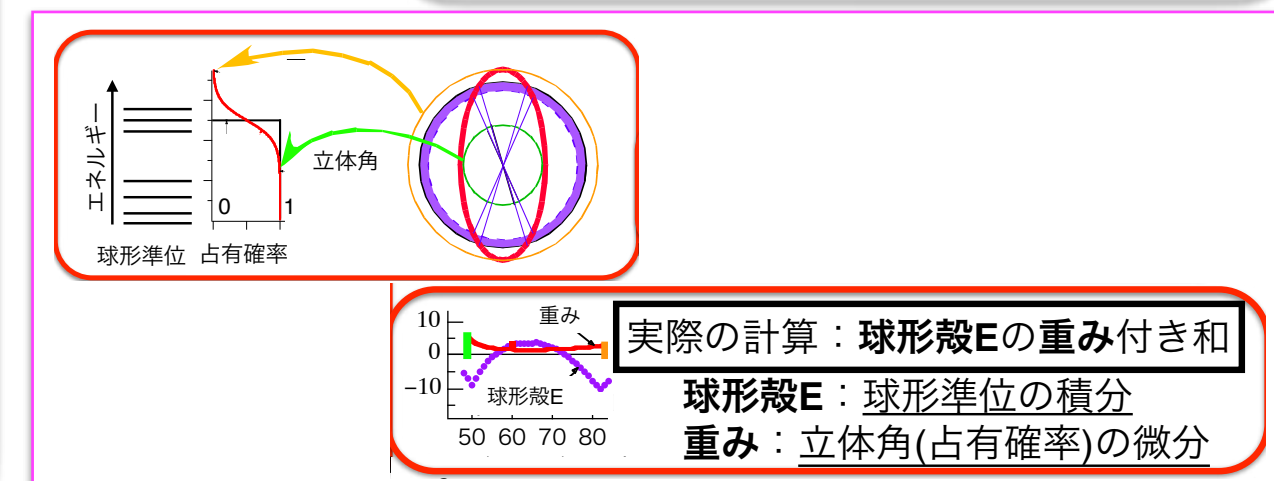
β 崩壊の禁止遷移のr過程への影響



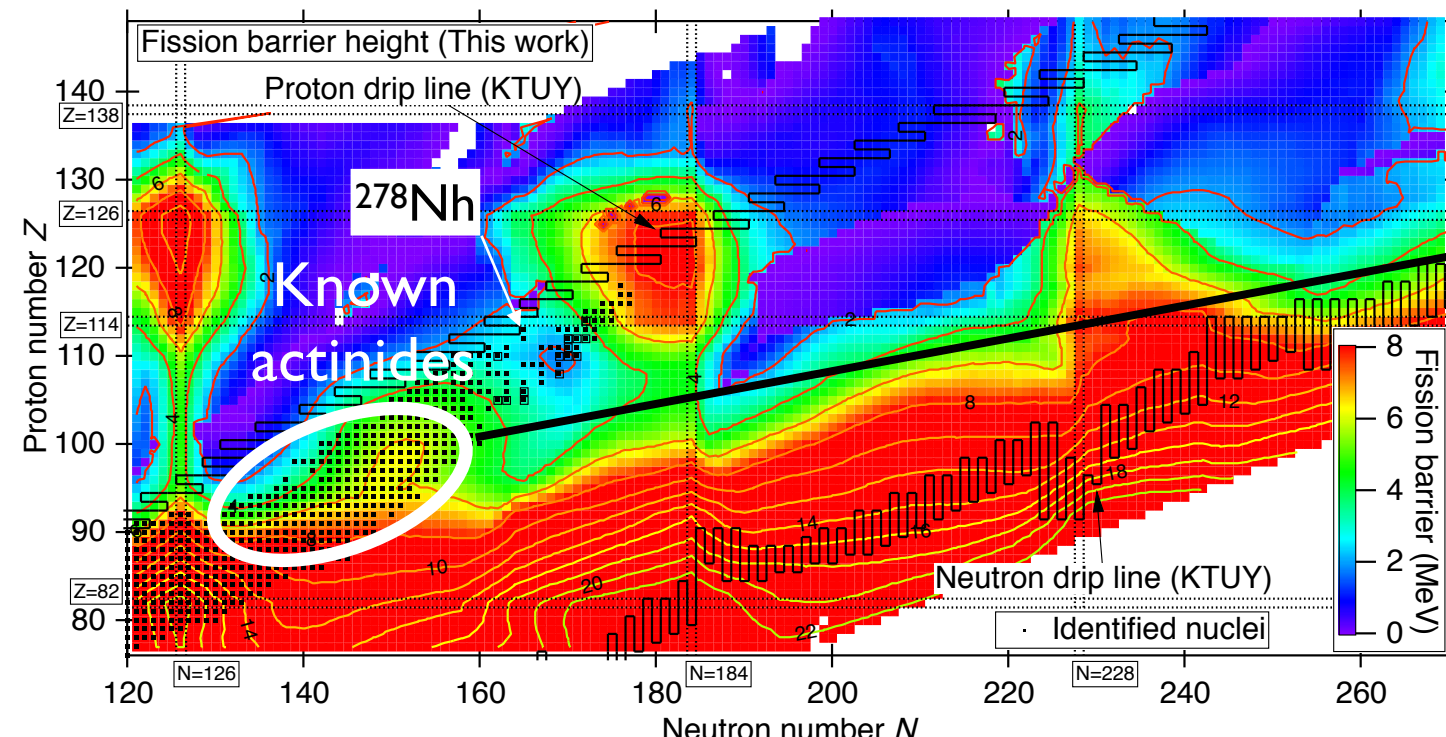
核分裂障壁計算：周期的に現れる超重核の安定性の島



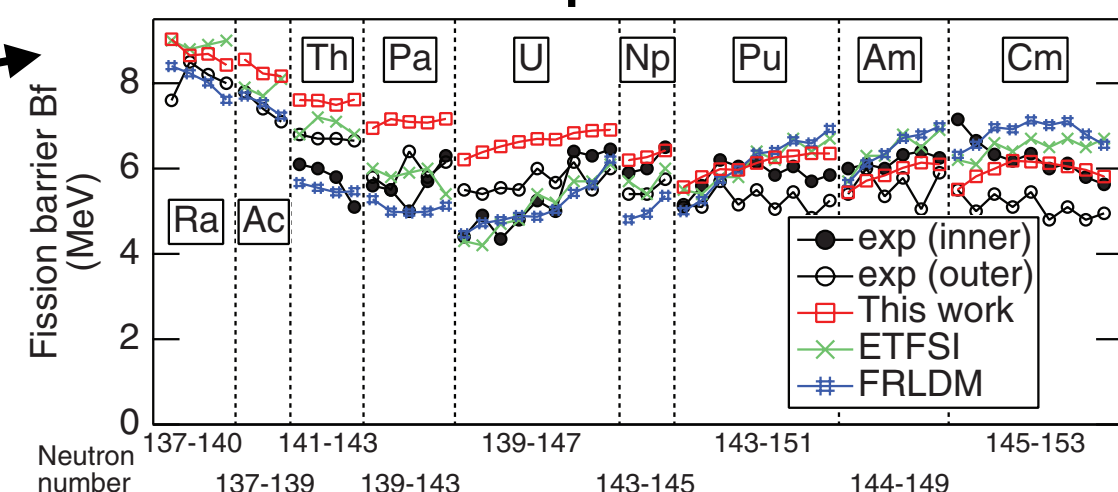
It forms the hill of the barrier landscape



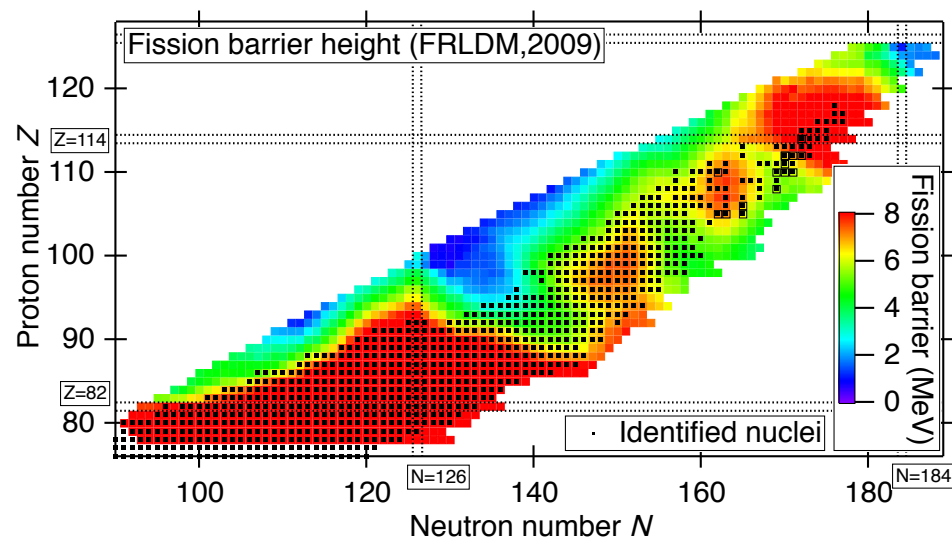
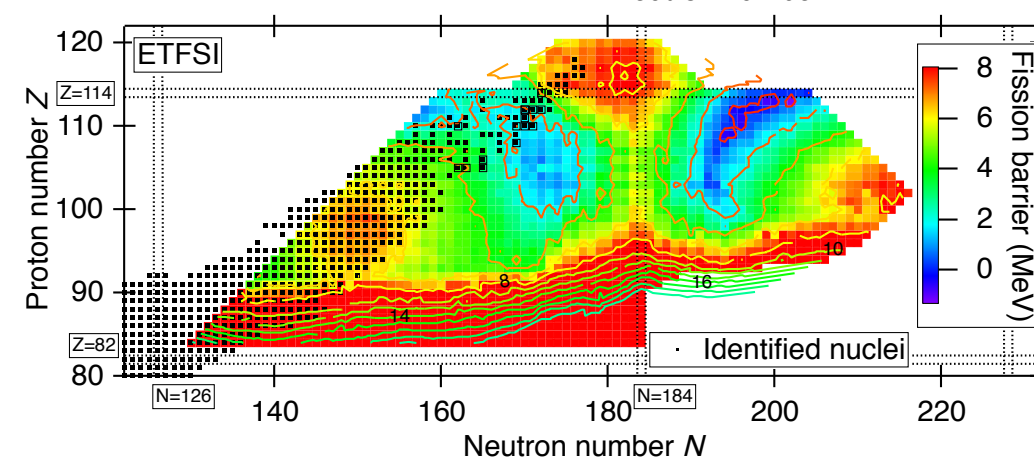
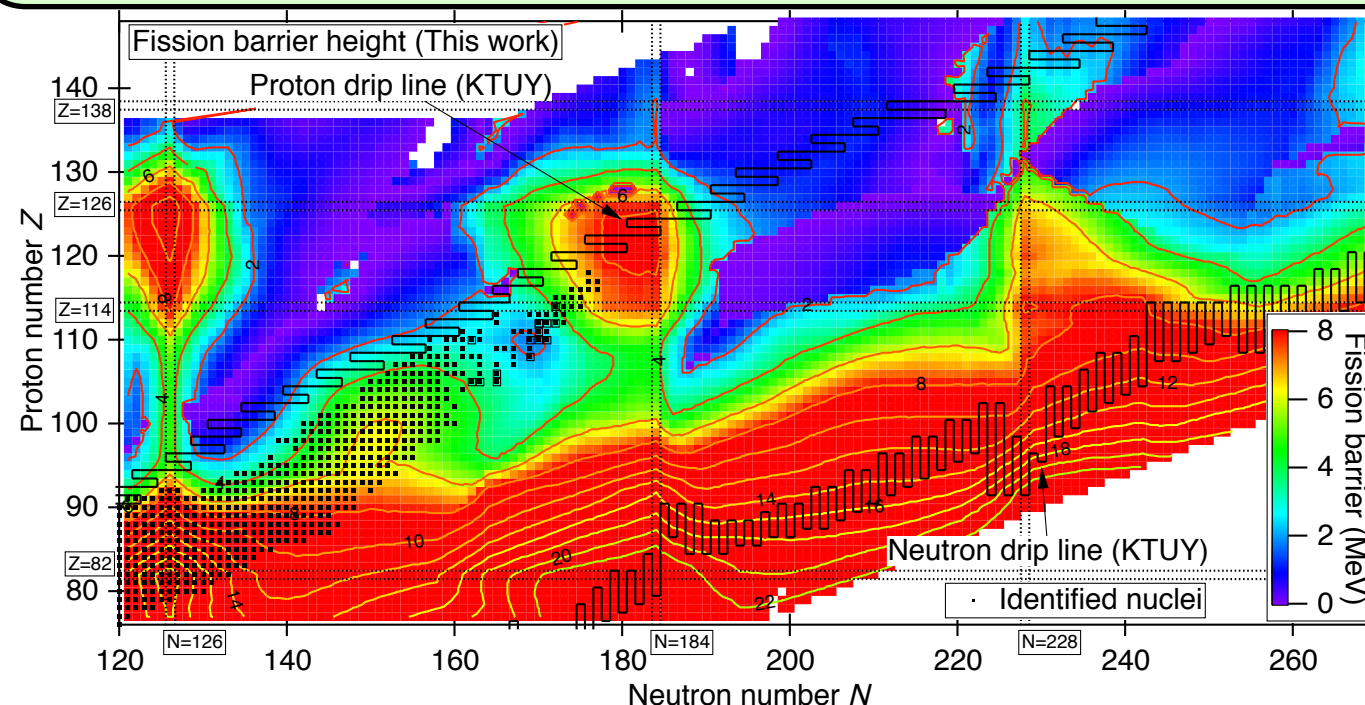
Fission barrier height of KTUY



Fission barrier height comparison with experiment

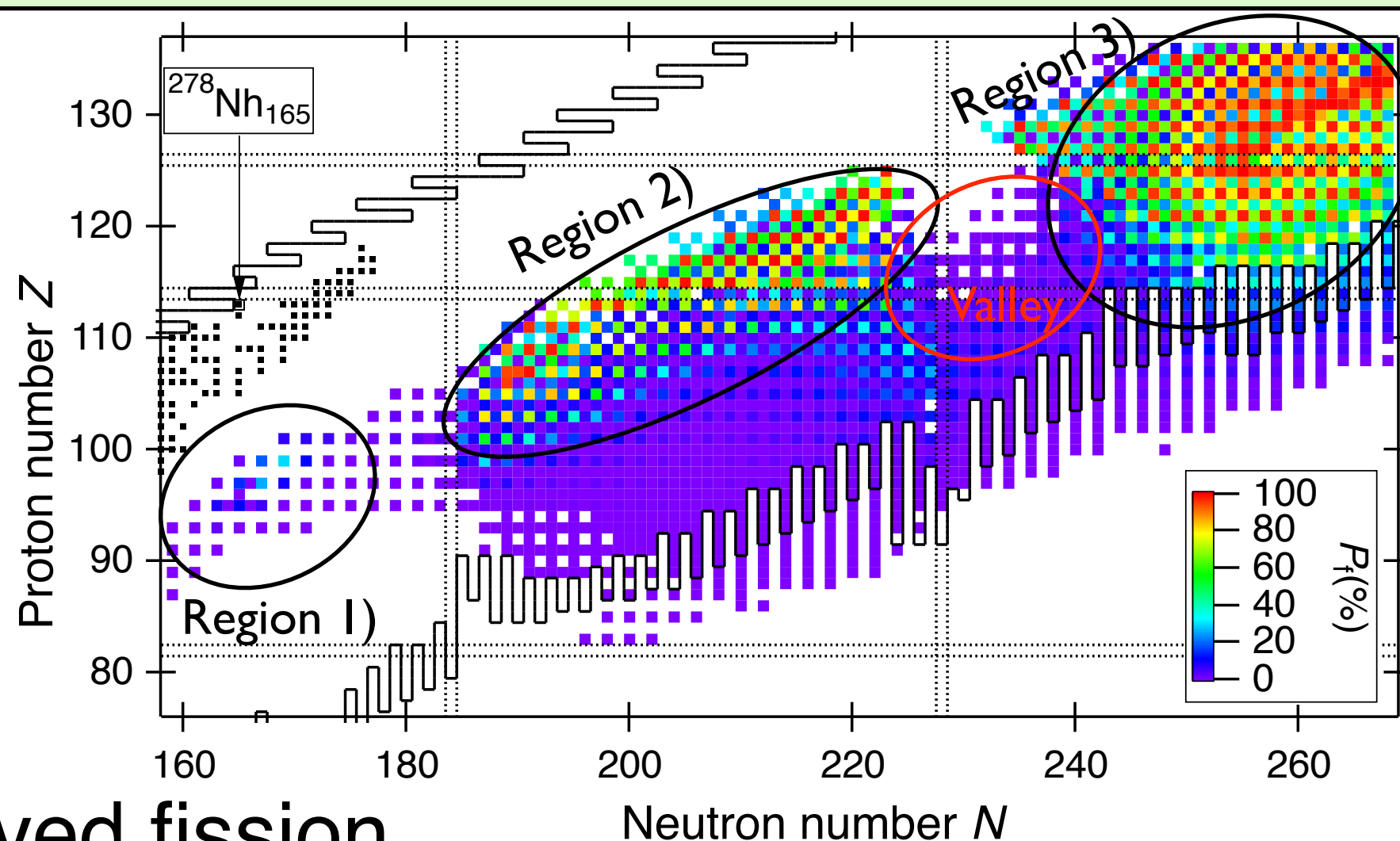


Fission barrier height: Comparison with other models

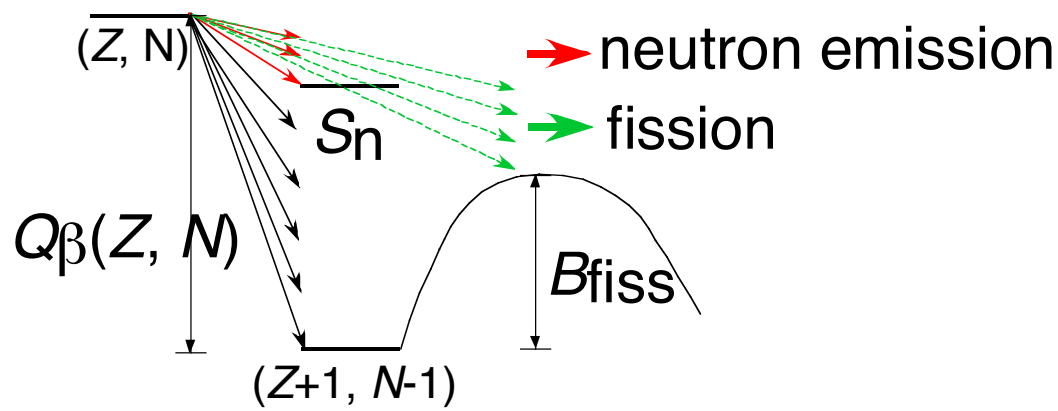


Results: Beta-delayed fission probabilities P_f

KTUY fission
+ KTUY mass



- β -delayed fission



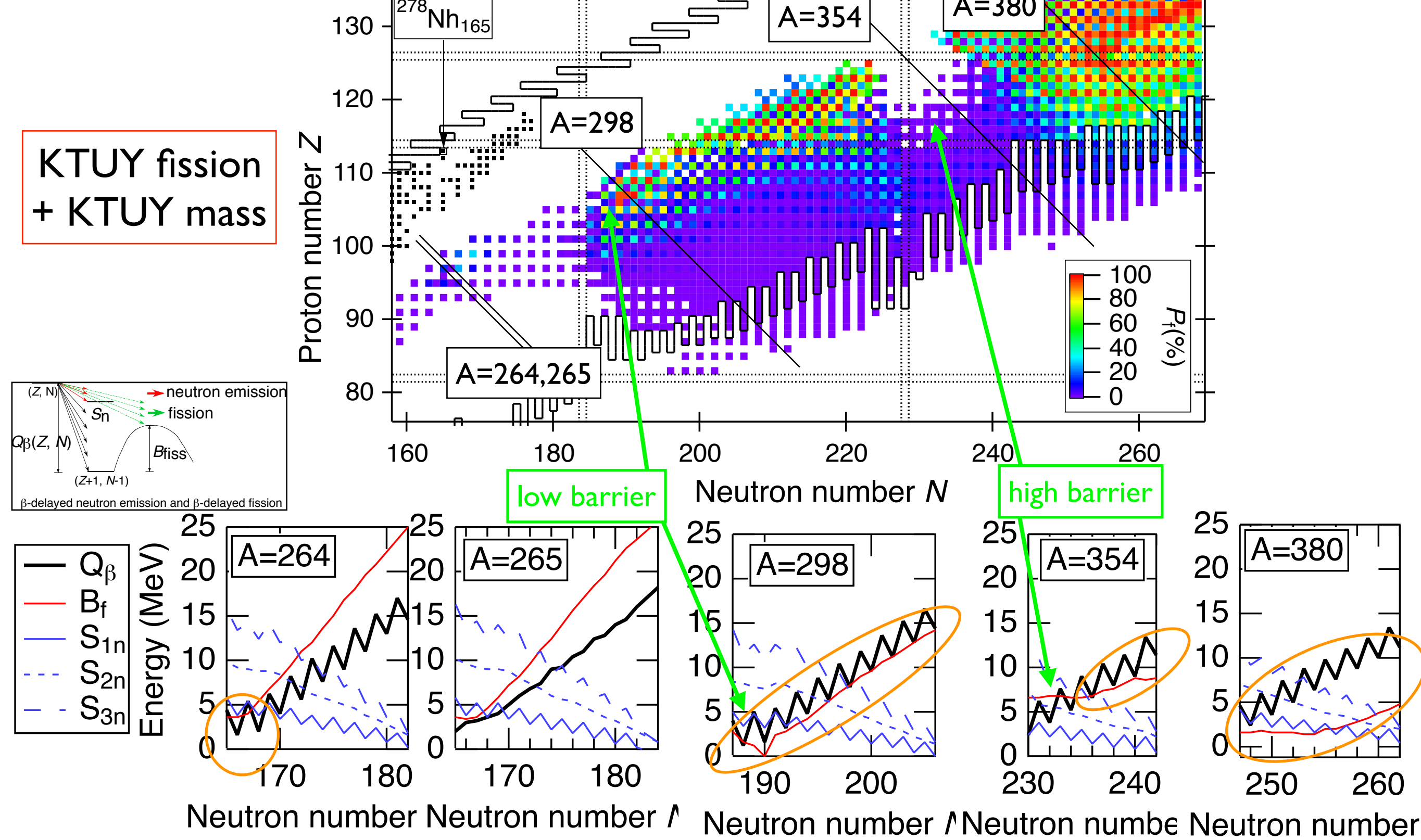
β -delayed neutron emission and β -delayed fission

Beta-delayed fissioning region

- 1) $^{268}\text{Es}_{169}$ (Small region)
- 2) Zone from $^{294}\text{Sg}_{188}$ to $^{348}[126]_{222}$
- 3) Hill around $^{390}[130]_{260}$ (or continuing to heavier)

*Valley around $^{354}[126]_{228}$

Results: Beta-delayed fission probabilities P_f



まとめ

- 核図表彼見た原子核の概要
 - 現時点で約3300核種が実験的に確認 (JAEA核図表2018)
 - 現時点で約2500核種についての原子（核）質量を測定
- 原子核質量：中性子過剰核
 - 質量模型計算の予測値の不定性（特にA=190付近）
 - 魔法数の変化（軽核では出現、重核以上では？）, 变形核の出現が予想される
→用いる質量模型により r 過程での生成量の違いが現れる
- β 崩壊：中性子過剰核
 - β 安定核近傍の ^{132}Sn , ^{208}Pb 近傍(2重閉殻)では許容遷移が(系統的に)抑制される
→one major shellずれることで現れる。 ($N=Z$ では現れなかった性質)
- 核分裂：超重核
 - 閉殻の周期性からくる核分裂障壁が r 過程の終端を作り得る。
→超重核研究（構造・崩壊）と密接に関わっており、両者のコラボレーションが重要